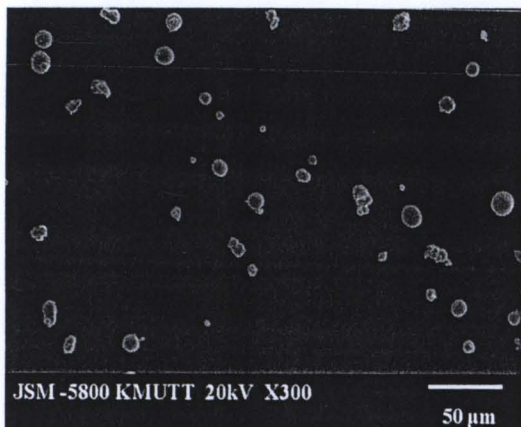


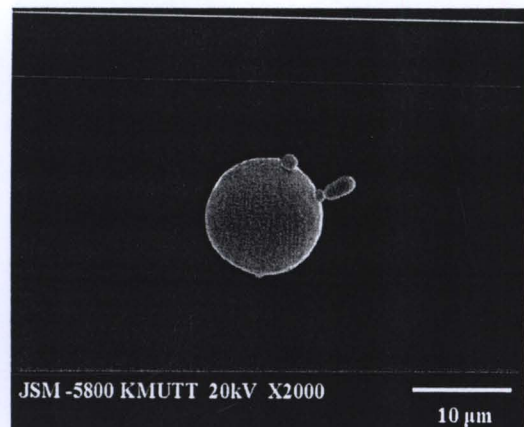
บทที่ 4 ผลการทดลองและวิเคราะห์ผล

4.1 ลักษณะทางกายภาพและโครงสร้างจุลภาคของผงโลหะ

ลักษณะของผงทองแดงที่ได้จากการอบต้มในเซ็นติเมตรร่องเบอร์ 450 ถ่ายด้วยกล้องจุลทรรศน์อิเล็กตรอนแบบส่อง광วัสดุ ที่กำลังขยาย 300 เท่า และ 2,000 เท่า แสดงดังรูปที่ 4.1 มีลักษณะเป็นก้อนกลมและมีขนาดอยู่ในช่วง 2–15 ไมโครเมตร ลักษณะของผงทั้งสเกตเตอร์ไบค์ (WC) ถ่ายด้วยกล้องจุลทรรศน์อิเล็กตรอนที่กำลังขยาย 5,000 เท่า และ 8,000 เท่า แสดงดังรูปที่ 4.2 มีลักษณะเป็นก้อนเกาตัวกันเป็นกลุ่มก้อน และลักษณะของผงทั้งสเกตเตอร์ไบค์สมโคมอลต์ร้อยละ 12 โดยมวล (WC-12Co) ถ่ายด้วยกล้องจุลทรรศน์อิเล็กตรอนที่กำลังขยาย 300 เท่า และ 2,000 เท่า แสดงดังรูปที่ 4.3 มีลักษณะเป็นก้อนกลม มีขนาดอยู่ในช่วง 0.6 – 30 ไมโครเมตร



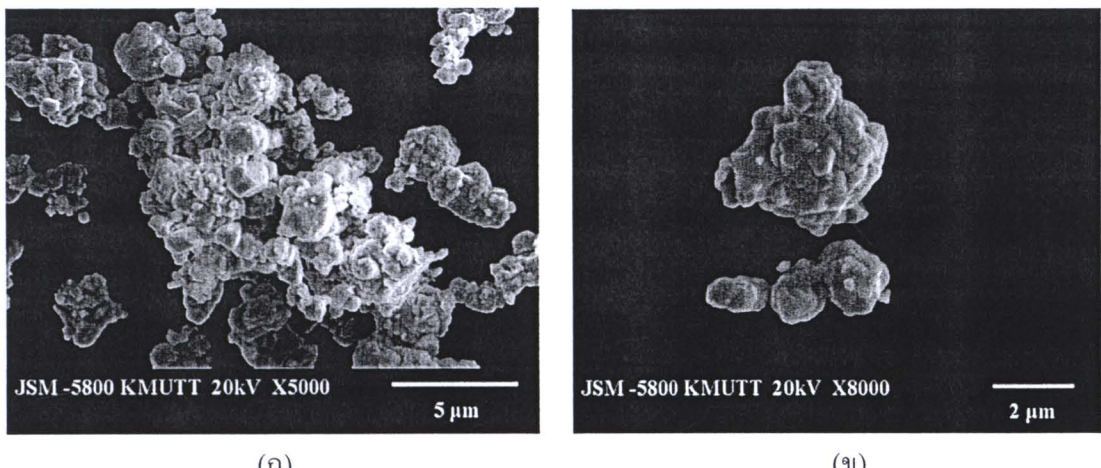
(ก)



(ж)

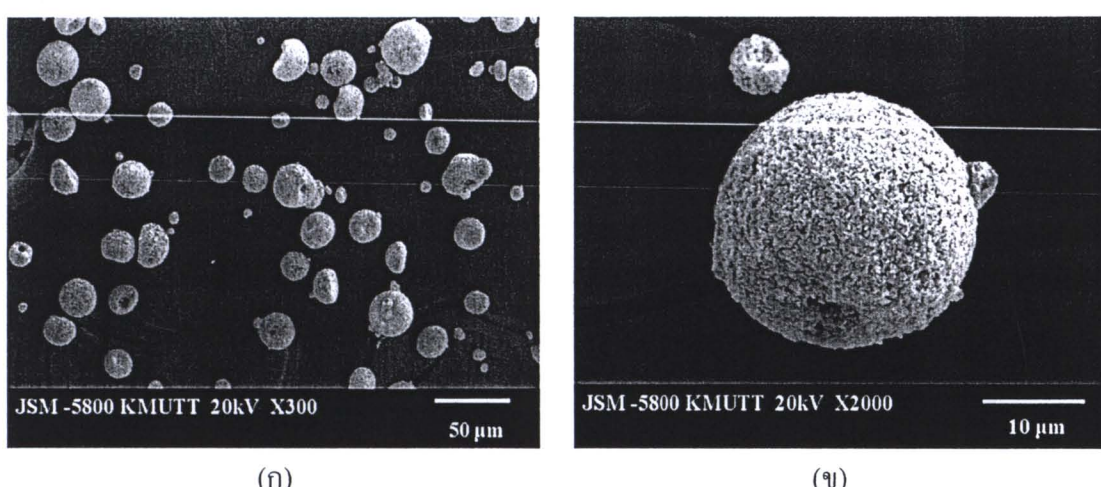
รูปที่ 4.1 ลักษณะของผงทองแดงถ่ายด้วยกล้องจุลทรรศน์อิเล็กตรอนแบบส่อง광วัสดุ

(ก) กำลังขยาย 300 เท่า (ж) กำลังขยาย 2,000 เท่า



รูปที่ 4.2 ลักษณะของหั่งสเตนคาร์บอนด้วยด้วยกล้องจุลทรรศน์อิเล็กตรอนแบบส่องภาพ

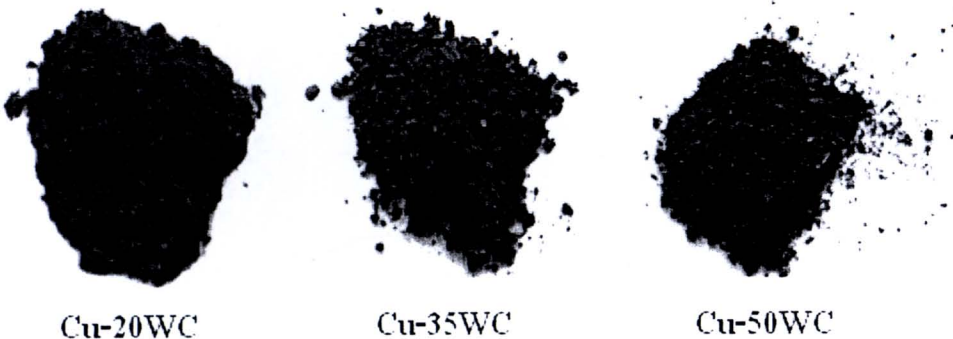
(ก) กำลังขยาย 5,000 เท่า (ข) กำลังขยาย 8,000 เท่า



รูปที่ 4.3 ลักษณะของผง WC-12Co ถ่ายด้วยกล้องจุลทรรศน์อิเล็กตรอนแบบส่องภาพ

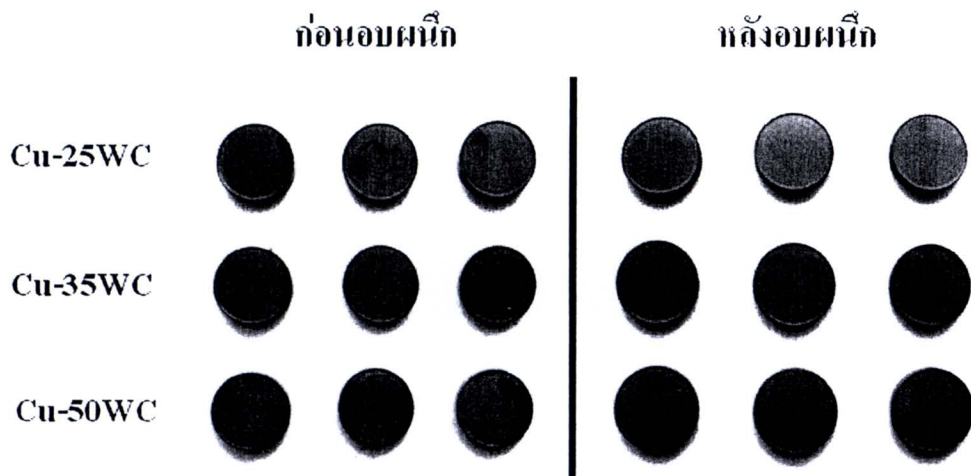
(ก) กำลังขยาย 300 เท่า (ข) กำลังขยาย 2,000 เท่า

ลักษณะของผงโลหะที่ได้จากการผสมผงหั่งสเตนคาร์บอนด้วยด้วยกล้องจุลทรรศน์อิเล็กตรอนแบบส่องภาพ แสดงถึงการผสมผงหั่งสเตนคาร์บอนด้วย WC-12Co ด้วยสัดส่วน 80:20, 65:35 และ 50:50 ร้อยละ โดยน้ำหนัก พบว่าผงที่ทำการผสมนั้นมีสีน้ำตาลแดง และมีสีเข้มขึ้นเมื่อปริมาณของหั่งสเตนคาร์บอนเพิ่มขึ้น ลักษณะทางกายภาพของผงหั่งสเตนคาร์บอนด้วยด้วยกล้องจุลทรรศน์อิเล็กตรอนแบบส่องภาพแสดงถึงการผสมผงหั่งสเตนคาร์บอนด้วย WC-12Co เพิ่มขึ้น แสดงดังรูปที่ 4.4



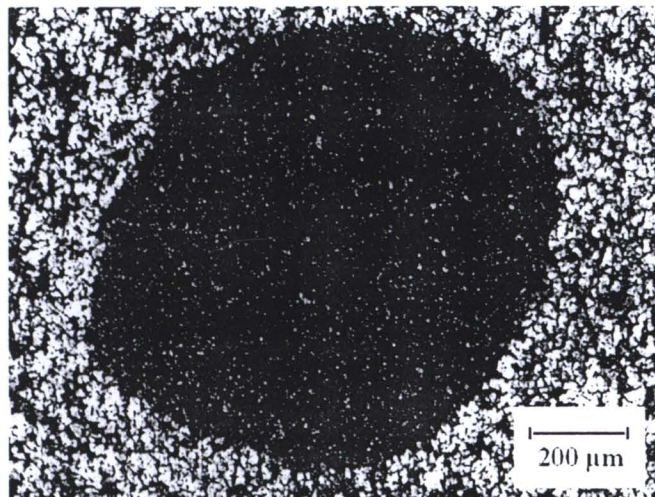
รูปที่ 4.4 ลักษณะทางกายภาพของผงทองแดงผสมกับทังสเตนคาร์ไบด์ที่สัดส่วนต่างกัน

ชิ้นงานของผงหลังอัดขึ้นรูปและอบพนีกที่อุณหภูมิ 900 องศาเซลเซียส แสดงดังรูปที่ 4.5 ชิ้นงานที่ได้หลังจากอัดขึ้นรูป (ก่อนอบพนีก) มีลักษณะเป็นทรงกระบอกเส้นผ่าศูนย์กลาง 16 มิลลิเมตร สีของชิ้นงานหลังผ่านการอบพนีก ชิ้นงาน Cu-20WC มีสีเหลืองอมส้ม และเข้มขึ้นเมื่อปริมาณ WC เพิ่มขึ้น

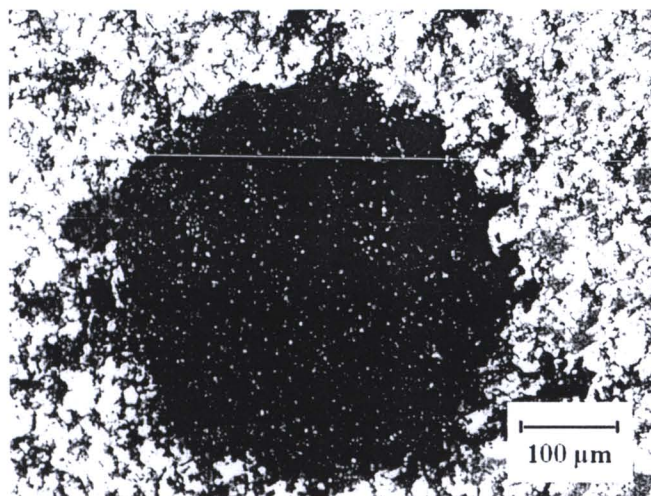


รูปที่ 4.5 ลักษณะทางกายภาพของชิ้นงานก่อนและหลังผ่านการอบพนีก

ผลการศึกษาโครงสร้างจุลภาคด้วยกล้องจุลทรรศน์แสงของชิ้นงาน Cu-WC ที่ผสมผงด้วยเครื่องกลึงนานอน เป็นเวลา 6 ชั่วโมง แสดงในรูปที่ 4.6 พบว่า ชิ้นงาน Cu-35WC และ Cu-50WC หลังผ่านการอบพนีก มีการกระจายตัวไม่ค่อยสม่ำเสมอ และมีก้อนของทังสเตนคาร์ไบด์ (บริเวณพื้นที่สีดำ) บนผิวของชิ้นงานอย่างเด่นชัด ด้วยเหตุนี้จึงได้ทำการผสมผง Cu-WC ทุกส่วนผสมใหม่เป็นเวลา 9 ชั่วโมง โดยใส่ถุงกดช่วยในการผสม พบว่า มีการกระจายตัวของผงดีขึ้น



(ก)



(ข)

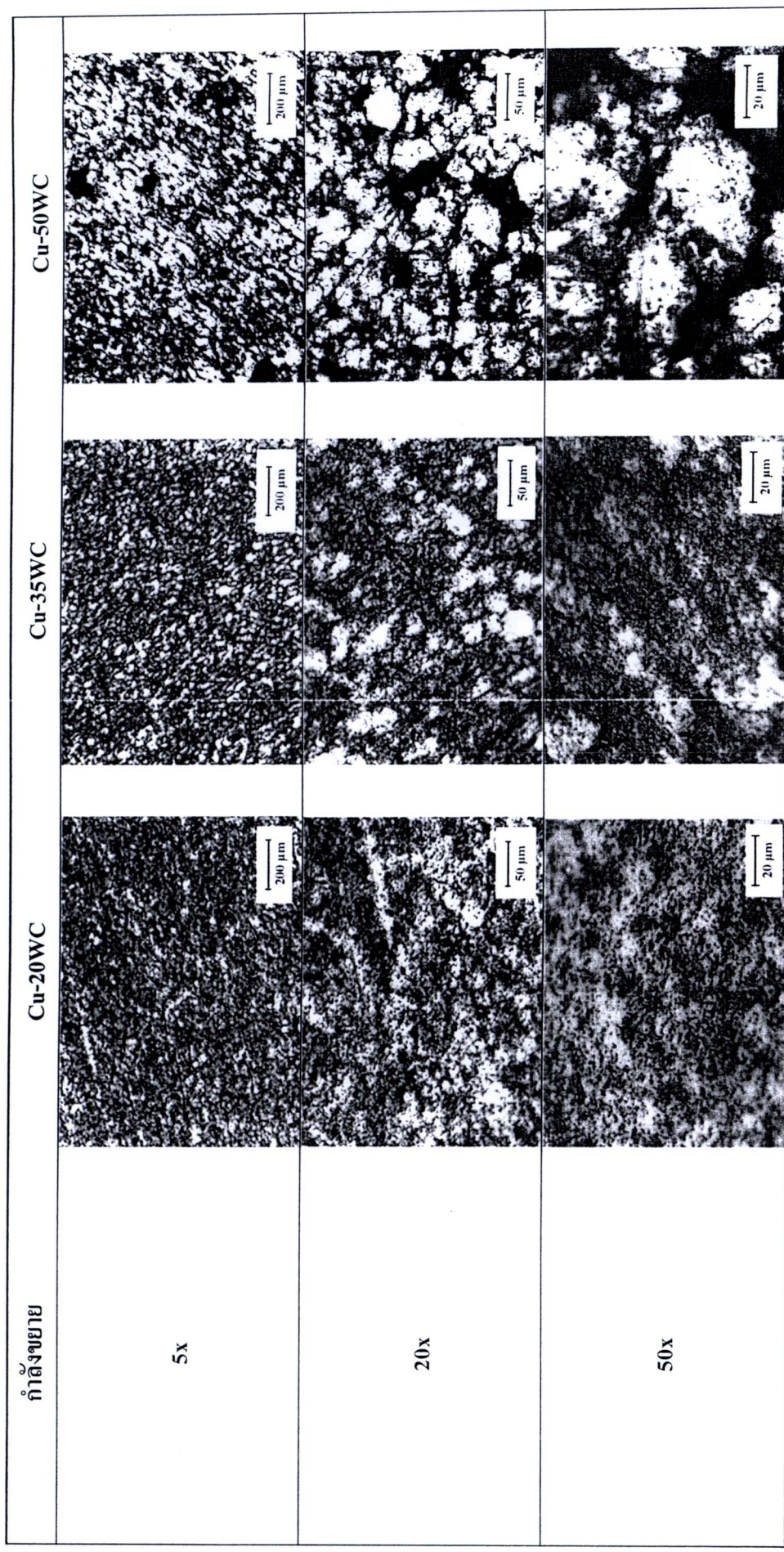
รูปที่ 4.6 ลักษณะการกระจายตัวขององ WC ในชิ้นงาน Cu-WC ถ่ายด้วยกล้องจุลทรรศน์แสง
 (ก) โครงสร้างจุลภาคของชิ้นงาน Cu-35WC ใช้กำลังขยายเลนส์วัตตุ 5 เท่า
 (ข) โครงสร้างจุลภาคของชิ้นงาน Cu-50WC ใช้กำลังขยายเลนส์วัตตุ 10 เท่า

ผลการศึกษาโครงสร้างจุลภาคด้วยกล้องจุลทรรศน์แสงของชิ้นงาน Cu-WC ที่ผสมผงโดยใช้ลูกบด เป็นตัวช่วยในการผสม หลังการอบพนึก แสดงในตารางที่ 4.1 พบว่า บริเวณพื้นที่เห็นสีขาวคือ ทองแดง และบริเวณสีดำคือหั้งสเตนคาร์ไบด์ ชิ้นงาน Cu-20WC และ Cu-35WC มีลักษณะการกระจายตัวขององทั้งสองอย่างสม่ำเสมอ ส่วนชิ้นงาน Cu-50WC มีการจับเป็นกลุ่มก้อนของหั้งสเตนคาร์ไบด์บ้างบางบริเวณ ขณะที่โครงสร้างจุลภาคของชิ้นงาน Cu-(WC-12Co) ดังตารางที่ 4.2 โดยบริเวณพื้นสีขาวคือ Cu และ บริเวณสีดำคือ WC-12Co ซึ่งมีการ

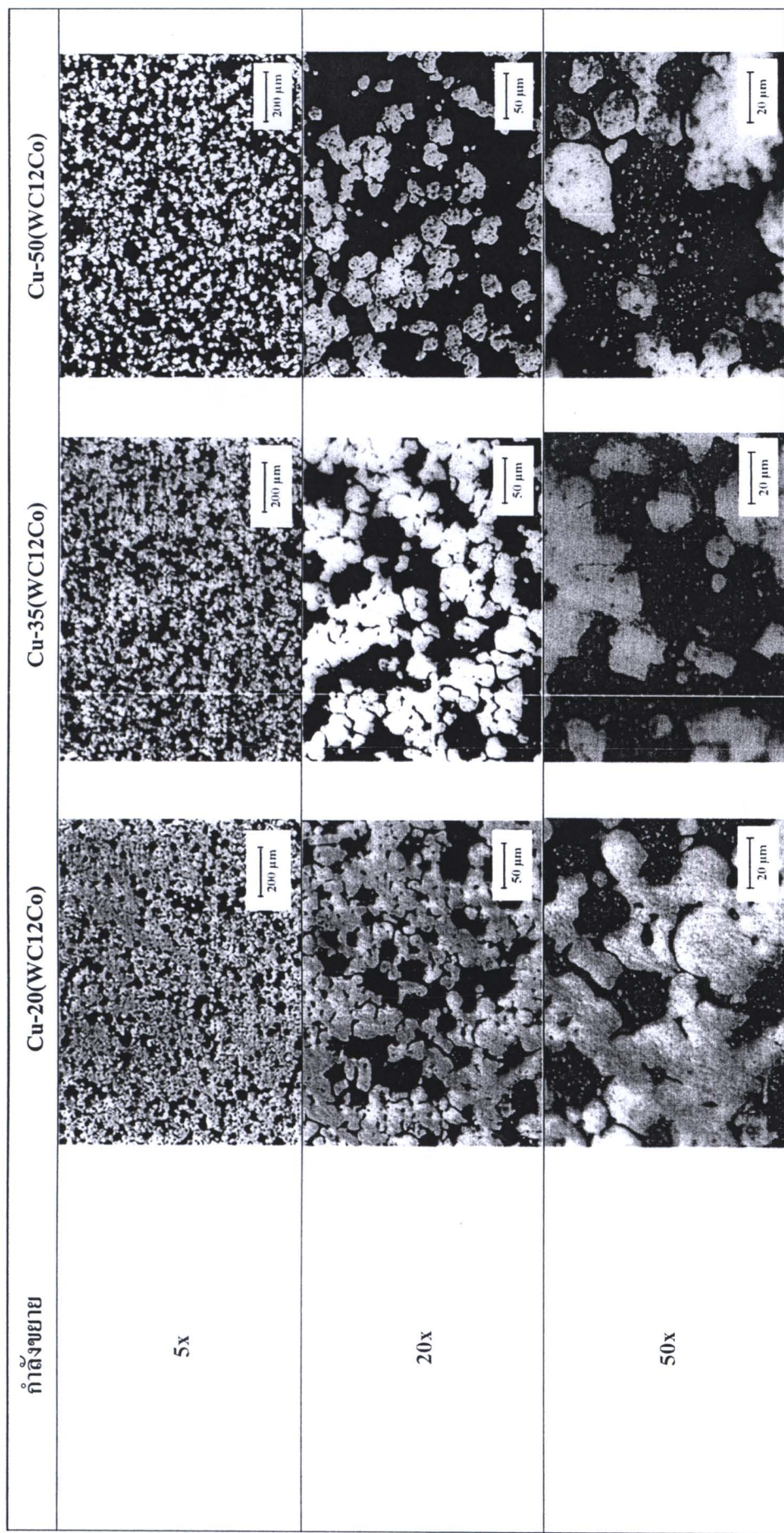
กระจายตัวของ Cu-20(WC-12Co) อย่างสม่ำเสมอทุกส่วนผสม จากผลการศึกษาโครงสร้างจุลภาค พบว่า การเพิ่มเวลาและเติมลูกบดเพื่อช่วยในการผสมนั้นช่วยให้การกระจายตัวของ WC มีการกระจายตัวดีขึ้นแต่ยังมีการเกาะกลุ่มของ WC ในชิ้นงาน Cu-50WC

จากการศึกษางานวิจัยของ Rajkovic และคณะ [35] พบว่าหลังจากทำการบดผสมชิ้นงาน Cu-2Al และ Cu-4Al₂O₃ เป็นเวลา 5 ชั่วโมง มีการกระจายตัวของอนุภาค Al และ Al₂O₃ บนพื้นทองแดงอย่างสม่ำเสมอ และเมื่อเวลาทำการบดผสมเพิ่มขึ้นเป็น 20 ชั่วโมง ขนาดของอนุภาค Al มีขนาดเล็กลงในระดับนาโน ทำให้ค่าความแข็งจุลภาคของ Cu-2Al มีค่าความแข็งสูงกว่า ค่าความแข็งจุลภาคของ Cu-4Al₂O₃ แต่ขนาดอนุภาคของ Al₂O₃ อยู่ในระดับไมโครเมตร จึงทำให้ค่าการนำไฟฟ้าของ Cu-4Al₂O₃ สูงกว่าค่าการนำไฟฟ้าของ Cu-2Al นอกจากนี้มีงานวิจัยของ Venugopal และคณะ [36] พบว่า ค่าการนำไฟฟ้าและความแข็งของวัสดุเชิงประกลبورะดับนาโน (Nanocomposites) ของ Cu-Ta ซึ่งเตรียมด้วยวิธี High-Energy Ball Mill มีค่าสูงกว่าค่าการนำไฟฟ้าและความแข็งของวัสดุเชิงประกลبورะดับไมโครน (Microcomposites) นั้นหมายความว่าการกระจายตัวของผงและขนาดของอนุภาคผงที่ใช้มีผลต่อการนำไฟฟ้าและความแข็งของชิ้นงานโดยผงที่มีขนาดเล็กน้ำไฟฟ้าดีกว่าผงที่มีขนาดใหญ่ทั้งนี้เนื่องจากผงที่มีขนาดเล็กสามารถกระจายตัวและผสมคลุกเคล้าได้ดีกว่าผงที่มีขนาดใหญ่

ตารางที่ 4.1 โครงสร้างจุลทรรศน์ของชิ้นงาน Cu-WC ที่ทำด้วยก๊อกองจุลทรรศน์แบบ



ตารางที่ 4.2 โครงสร้างจุลทรรศน์ทางค่าคงของชั้นงาน Cu-(WC-12Co) ภายใต้เวกต์องค์กรหะน์เจง

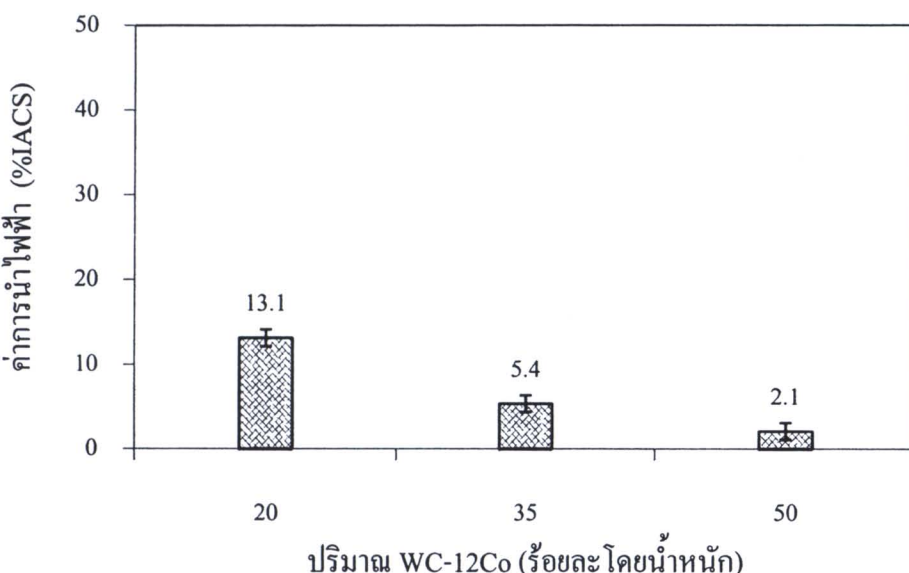




4.2 ผลการทดสอบสมบัติของชิ้นงาน Cu-(WC-12Co)

4.2.1 ผลการทดสอบการนำไฟฟ้าของชิ้นงาน Cu-(WC-12Co)

ผลการทดสอบการนำไฟฟ้าของชิ้นงาน Cu-(WC-12Co) ไม่ผ่านการทุบแปรรูป ที่สัดส่วน WC-12Co ร้อยละ 25, 50 และ 75 แสดงดังรูปที่ 4.7 ชิ้นงาน Cu-20(WC-12Co) มีค่าการนำไฟฟ้าเฉลี่ยที่ 13.1 %IACS ชิ้นงาน Cu-35(WC-12Co) มีค่าการนำไฟฟ้าเฉลี่ยที่ 5.4 %IACS และชิ้นงาน Cu-50(WC-12Co) มีค่าการนำไฟฟ้าเฉลี่ย 2.1 %IACS

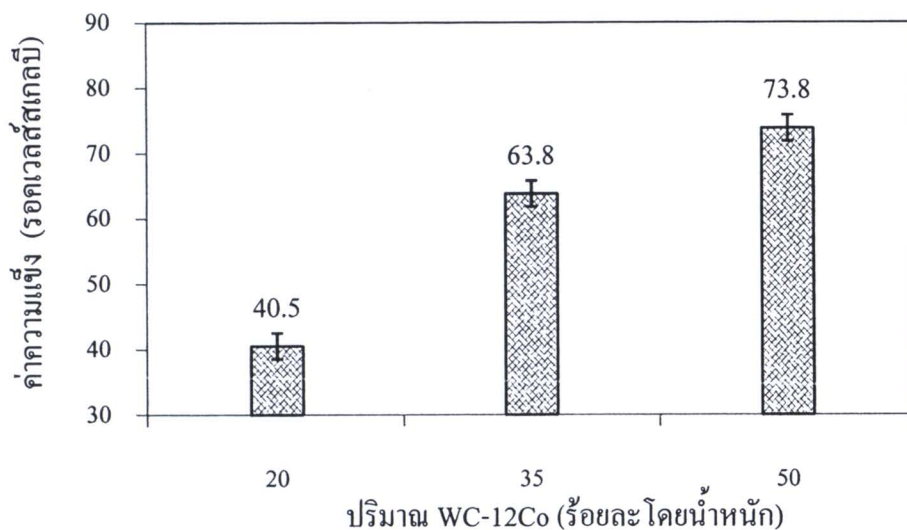


รูปที่ 4.7 ค่าการนำไฟฟ้าของชิ้นงาน Cu-(WC-12Co) ในสัดส่วนต่างกันหลังอบผนัง

จากผลการทดลองเห็นได้ว่า เมื่อปริมาณ WC-12Co เพิ่มขึ้น ค่าการนำไฟฟ้าที่ได้มีค่าลดลง ทั้งนี้เนื่องจากอนุภาคของ WC-12Co นำไฟฟ้าได้น้อย และการกระจายตัวขององค์ประกอบ WC-12Co บนพื้นท้องเดงส่งผลให้เกิดข้อห่วงการส่งผ่านอิเล็กตรอนของท้องเดงทำให้ค่าการนำไฟฟ้าที่ได้มีค่าลดลง ซึ่งสอดคล้องกับงานวิจัยของ Fındık และ Uzun [11] พนว่า เมื่อปริมาณของ W เพิ่มขึ้นส่งผลให้ค่าการนำไฟฟ้าลดลง โดยโลหะผสม Ag-15W และ Ag-70W มีค่าการนำไฟฟ้าประมาณ 87 และ 48 %IACS ตามลำดับ ดังนั้นการเติม WC-12Co ในปริมาณที่มากขึ้นและการเติมชาตุผสมที่ต่างชนิดกัน ส่งผลให้ค่าการนำไฟฟ้าลดลงเป็นไปตามหลักการ โดยทั่วไปของการเติมชาตุผสมจะทำให้สมบัติการนำไฟฟ้าลดลง [6]

4.2.2 ผลการทดสอบความแข็งของชิ้นงาน Cu-(WC-12Co)

ผลการทดสอบความแข็งของชิ้นงาน Cu-(WC-12Co) ไม่ผ่านการทุบແปรูป ที่สัดส่วนของ WC-12Co ร้อยละ 25, 50 และ 75 ตามลำดับ แสดงดังรูปที่ 4.8 ชิ้นงาน Cu-20(WC-12Co) มีค่าความแข็งเฉลี่ย 40.5 รอกเวลส์สเกลบี ชิ้นงาน Cu-35(WC-12Co) มีค่าความแข็งเฉลี่ยที่ 63.8 รอกเวลส์สเกลบี และ ชิ้นงาน Cu-50(WC-12Co) มีค่าความแข็งเฉลี่ย 73.8 รอกเวลส์สเกลบี

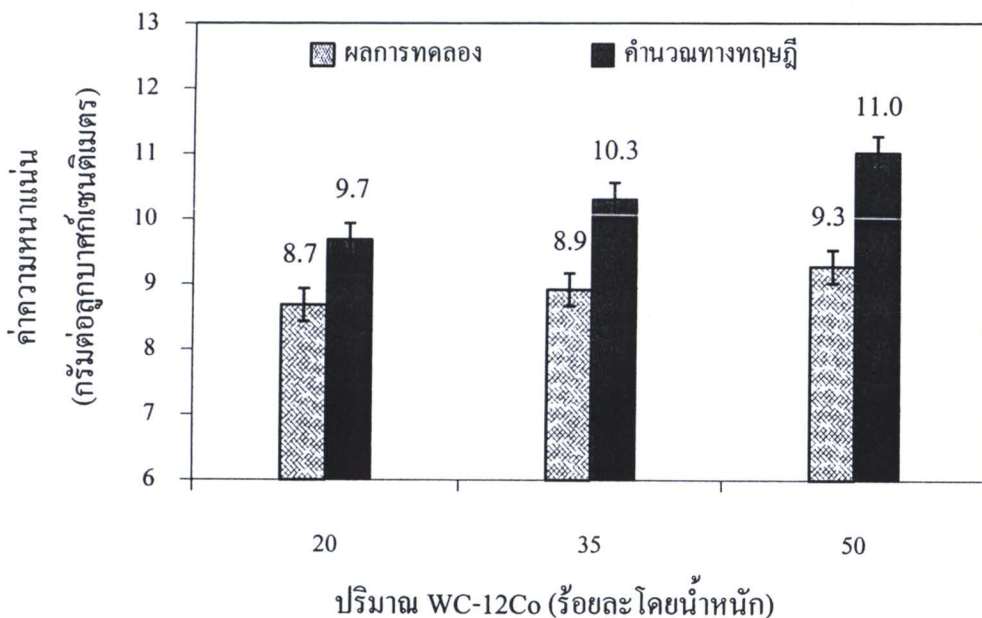


รูปที่ 4.8 ค่าความแข็งของชิ้นงาน Cu-(WC-12Co) ในสัดส่วนต่างกันหลังอบพนัก

จากผลการทดลองเห็นได้ว่า เมื่อปริมาณ WC-12Co เพิ่มขึ้น ค่าความแข็งที่ได้มีเพิ่มขึ้น ทั้งนี้เนื่องจากอนุภาคของ WC-12Co มีความแข็งสูง เมื่อกระจายตัวของผง WC-12Co ในโครงสร้างพื้นที่ของทองแดงมากขึ้น ส่งผลให้เกิดขัดขวางการเคลื่อนที่ของคิสโลเดชัน ทำให้เคลื่อนที่ได้ยาก นอกจากนี้ยังมีผลมาจากการต่อความแข็งของวัสดุคือ (หนึ่ง) อนุภาค WC-12Co เกยสัมผัสนกัน (Bridging) และ (สอง) จำนวนอนุภาค WC-12Co ที่สัมผัสนกันหัวคดของเครื่องทดสอบความแข็งมีปริมาณมากขึ้น ซึ่งผลของสองปรากฏการณ์นี้ทำให้ความแข็งของวัสดุเชิงประกอบ (Composite material) ระหว่างทองแดงกับ WC-12Co มีความแข็งมากขึ้น

4.2.3 ผลการทดสอบความหนาแน่นของชิ้นงาน Cu-(WC-12Co)

ผลการทดสอบค่าความหนาแน่นและผลการคำนวณความหนาแน่นของชิ้นงาน Cu-(WC-12Co) ไม่ผ่านการทุบแปรรูป ที่สัดส่วน WC-12Co ร้อยละ 25, 50 และ 75 ตามลำดับ แสดงดังรูปที่ 4.9 พบว่า ผลที่ได้จากการทดลองของชิ้นงาน Cu-20(WC-12Co) มีค่าความหนาแน่น 8.7 กรัมต่อลูกบาศก์เซนติเมตร ชิ้นงาน Cu-35(WC-12Co) มีค่าความหนาแน่น 8.9 กรัมต่อลูกบาศก์เซนติเมตร และชิ้นงาน Cu-50(WC-12Co) มีค่าความหนาแน่น 9.3 กรัมต่อลูกบาศก์เซนติเมตร จากผลการทดลองเห็นได้ว่า เมื่อปริมาณ WC-12Co เพิ่มขึ้น ค่าความหนาแน่นที่ได้มีค่าเพิ่มขึ้น ทั้งนี้เนื่องจาก WC-12Co เป็นโลหะหนักมีค่าความหนาแน่นและมวลมาก จึงทำให้ค่าความหนาแน่นมีค่าเพิ่มขึ้น



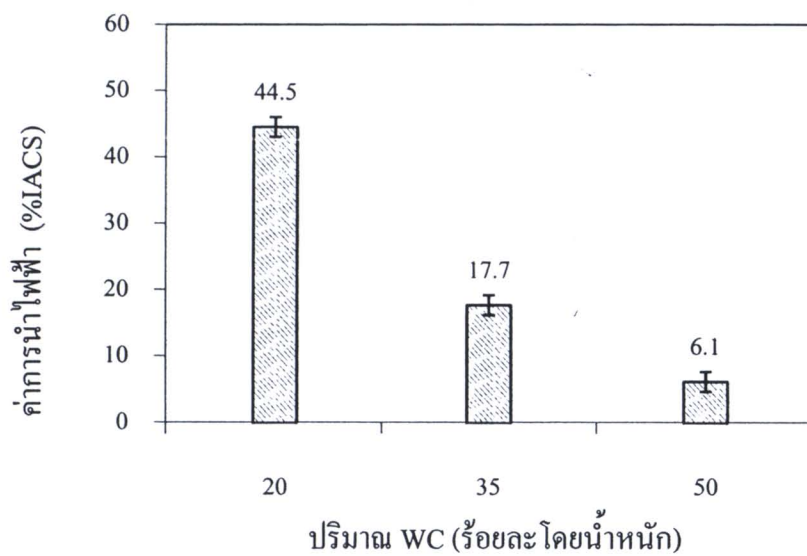
รูปที่ 4.9 ค่าความหนาแน่นของชิ้นงาน Cu-(WC-12Co) ในสัดส่วนต่างกันหลังอบพนีก

เมื่อพิจารณาค่าความหนาแน่นที่ได้จากการทดลองกับค่าความหนาแน่นที่ได้จากการคำนวณทางทฤษฎี พบว่า ค่าที่ได้จากการทดลองมีค่าต่ำกว่าค่าที่ได้จากการคำนวณทางทฤษฎี ซึ่งมีสาเหตุมาจากการชิ้นงานยังมีรูพรุนตกค้างภายในหลังจากอบพนีก

4.3 ผลการทดสอบสมบัติของชิ้นงาน Cu-WC

4.3.1 ผลการทดสอบการนำไฟฟ้าของชิ้นงาน Cu-WC

ผลการทดสอบการนำไฟฟ้าของชิ้นงาน Cu-WC ที่ไม่ผ่านการทุบแปรรูปที่ส่วนผสม WC ร้อยละ 20, 35 และ 50 ตามลำดับ แสดงดังรูปที่ 4.10 พบว่า ค่าการนำไฟฟ้าของชิ้นงาน Cu-20WC มีค่าการนำไฟฟ้าเฉลี่ยที่ 44.5 %IACS ชิ้นงาน Cu-35WC มีค่าการนำไฟฟ้าเฉลี่ยที่ 17.7 %IACS และชิ้นงาน Cu-50WC มีค่าการนำไฟฟ้าเฉลี่ย 6.1 %IACS เห็นได้ว่าเมื่อปริมาณ WC เพิ่มขึ้น ค่าการนำไฟฟ้าที่ได้มีค่าลดลง ทั้งนี้เนื่องจาก WC มีค่าการนำไฟฟ้าประมาณ 8.9 %IACS เมื่อเพิ่มปริมาณ WC เพิ่มจึงทำให้การนำไฟฟ้าลดลง

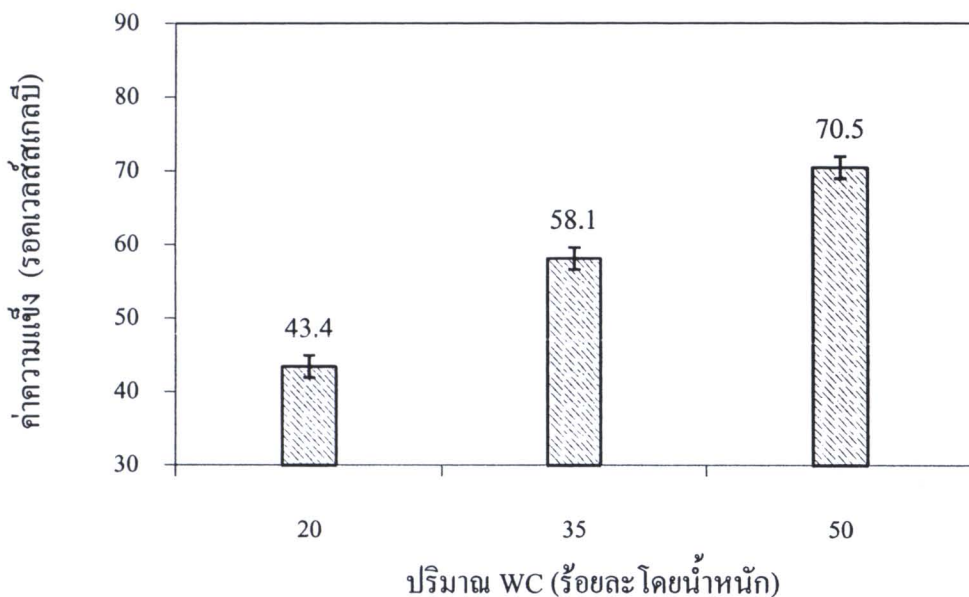


รูปที่ 4.10 ค่าการนำไฟฟ้าของชิ้นงาน Cu-WC ในสัดส่วนต่างกันหลังอบพนัก

เมื่อเปรียบเทียบค่าการนำไฟฟ้าของชิ้นงาน Cu-WC กับชิ้นงาน Cu-(WC-12Co) ในสัดส่วนเท่ากัน พบว่า ชิ้นงาน Cu-WC มีค่าการนำไฟฟ้าสูงกว่าชิ้นงาน Cu-(WC-12Co) ทุกสัดส่วนที่ทดสอบ

4.3.2 ผลการทดสอบความแข็งของชิ้นงาน Cu-WC

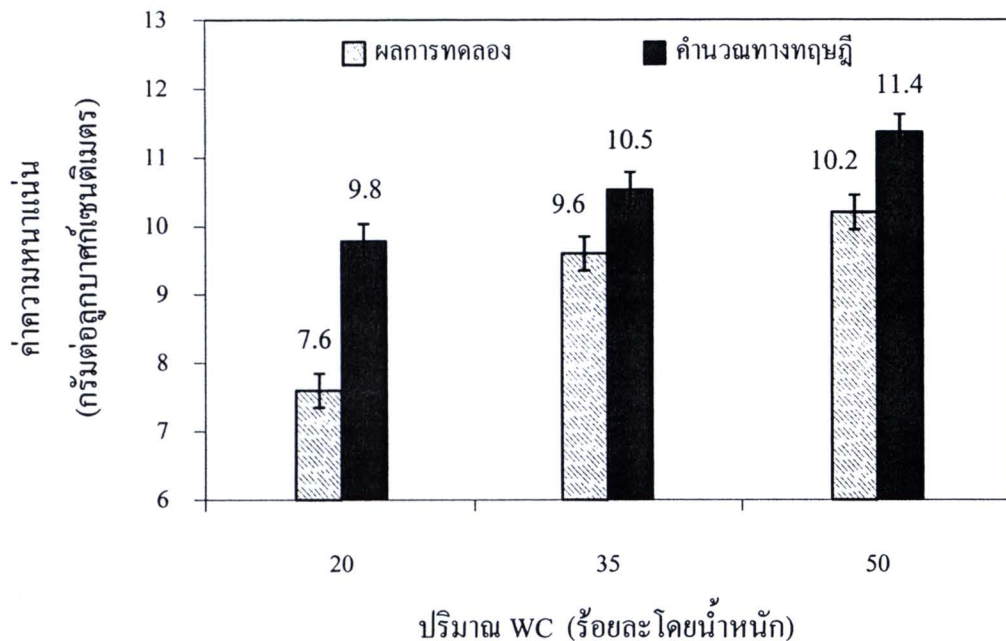
ผลการทดสอบความแข็งของชิ้นงาน Cu-WC ที่ไม่ผ่านการทุบแปรรูปที่ส่วนผสมต่างกัน แสดงดังรูปที่ 4.11 พบว่า ชิ้นงาน Cu-20WC มีค่าความแข็งเฉลี่ยที่ 43.4 รอกเวลส์สเกลบี ชิ้นงาน Cu-35WC มีค่าความแข็งเฉลี่ยที่ 58.1 รอกเวลส์สเกลบี และชิ้นงาน Cu-50WC มีค่าความแข็งเฉลี่ย 70.5 รอกเวลส์สเกลบี เห็นได้ว่า เมื่อปริมาณ WC เพิ่มขึ้น ค่าความแข็งที่ได้มีค่าเพิ่มขึ้น ซึ่งสอดคล้องกับผลการทดสอบความแข็งของชิ้นงาน Cu-(WC-12Co)



รูปที่ 4.11 ค่าความแข็งของชิ้นงาน Cu-WC ในสัดส่วนต่างกันหลังอบพนึก

4.3.3 ผลการทดสอบความหนาแน่นของชิ้นงาน Cu-WC

ผลการทดสอบความหนาแน่นของชิ้นงาน Cu-WC ในสัดส่วนที่แตกต่างกันหลังอบพนึกไม่ผ่านการทุบขึ้นรูป แสดงดังรูปที่ 4.12 พบว่า ค่าความหนาแน่นของชิ้นงาน Cu-20WC มีค่า 7.6 กรัมต่อลูกบาศก์เซนติเมตร ชิ้นงาน Cu-35WC มีค่าความหนาแน่นที่ 9.6 กรัมต่อลูกบาศก์เซนติเมตร และชิ้นงาน Cu-50WC มีค่าความหนาแน่นที่ 10.2 กรัมต่อลูกบาศก์เซนติเมตร เห็นได้ว่าเมื่อปริมาณ WC เพิ่มขึ้น ค่าความหนาแน่นที่ได้มีค่าเพิ่มขึ้น ซึ่งผลการทดสอบความหนาแน่นมีแนวเดียวกับชิ้นงาน Cu-(WC-12Co)



รูปที่ 4.12 ค่าความหนาแน่นของชิ้นงาน Cu-WC ในสัดส่วนต่างกันหลังอบผนึก

เมื่อพิจารณาค่าความหนาแน่นที่ได้จากการทดสอบกับค่าความหนาแน่นที่ได้จากการคำนวณทางทฤษฎี พบว่า ค่าที่ได้จากการทดสอบมีค่าต่ำกว่าค่าที่ได้จากการคำนวณทางทฤษฎี ซึ่งมีสาเหตุมาจากการชิ้นงานยังมีรูพรุนตอกค้างภายในหลังจากอบผนึก

เมื่อนำผลการทดสอบการนำไฟฟ้าและความแข็ง ของชิ้นงาน Cu-WC ที่ได้เปรียบเทียบกับมาตรฐาน ASTM B663-94 (2006) ดังตารางที่ 4.3 พบว่าค่าการนำไฟฟ้าของชิ้นงาน Cu-20WC ที่ได้มีค่า 44.5 %IACS ซึ่งมีค่าใกล้เคียงกับค่าการนำไฟฟ้าของวัสดุหน้าสัมผัส ที่ผ่านกรรมวิธีทาง旁洛ะแบบ Infiltration กลุ่ม B มีค่าการนำไฟฟ้าอยู่ในช่วง 45-50 %IACS ส่วนค่าความแข็งของชิ้นงาน Cu-20WC มีค่าอยู่ที่ 43.4 รอกเวลล์สเกลบี ซึ่งต่ำกว่ามาตรฐานของวัสดุหน้าสัมผัสกลุ่มนี้ ซึ่งมีค่าอยู่ในช่วง 86-96 รอกเวลล์สเกลบี ส่วนชิ้นงาน Cu-35WC และ Cu-50WC มีค่าการนำไฟฟ้าและความแข็งต่ำกว่ามาตรฐานทุกกลุ่ม

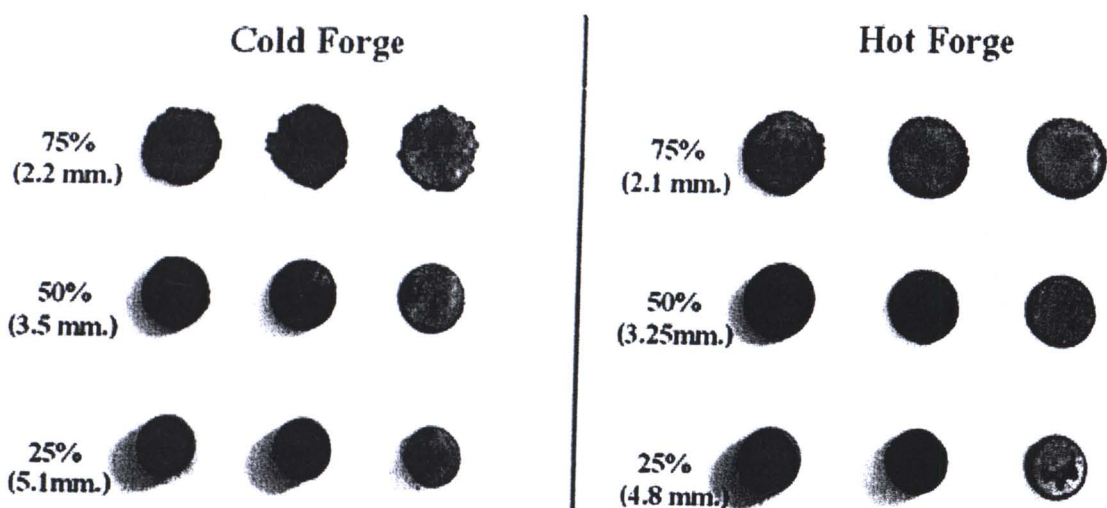
ตารางที่ 4.3 สมบัติทางกายภาพของวัสดุหน้าสัมผัสที่มีส่วนผสมหลักของเงินกับทังสเตนคาร์บไบด์
ตามมาตรฐาน ASTM B663-94(2006) [12]

ส่วนผสม (ร้อยละโดยน้ำหนัก)	กลุ่ม		
	A	B	C
เงิน	38-42	48-52	63-67
ทังสเตนคาร์บไบด์	58-62	48-52	33-37
ทองแดง (มากที่สุด)	0.5	0.5	0.5
โคบอลต์ หรือ นิกเกิล (มากที่สุด)	0.5	0.5	0.5
สารปนเปื้อนอื่นๆ (มากที่สุด)	1	1	1
สมบัติทางกายภาพ	กลุ่ม		
	A	B	C
ค่าการนำไฟฟ้า (%IACS)	35-40	45-50	55-60
ความแข็ง (รอกเวลล์สเกลบี)	95-105	86-96	50-65
ความหนาแน่น (มิลลิกรัมต่อลูกบาศก์เมตร)	13.1	12.6	11.9
ความหนาแน่นทางทฤษฎี (ร้อยละ)	96	96	96

ด้วยเหตุนี้ ในการทดลองจึงนำชิ้นงาน Cu-20WC มาทำการทุบขึ้นรูปปร้อน เพื่อต้องการลดครูพรุนและเพิ่มความแข็งของชิ้นงาน พบว่า ชิ้นงาน Cu-20WC มีค่าการนำไฟฟ้าสูงขึ้นจาก 44.5 เป็น 61.8 %IACS และมีค่าความแข็งสูงขึ้นจาก 43.4 เป็น 85.9 รอกเวลล์สเกลบี ซึ่งมีค่าที่ได้สูงกว่าค่าการนำไฟฟ้าและความแข็งของวัสดุหน้าสัมผัสกลุ่ม C ตามมาตรฐาน ASTM B663-94 (2006) ซึ่งมี WC ร้อยละ 33-37 โดยน้ำหนัก จึงเป็นที่มาในการเลือกชิ้นงาน Cu-20WC มาทำการทุบขึ้นรูปปร้อน โดยลดความหนาลงร้อยละ 25, 50 และ 75 และทุบขึ้นรูปเย็นเพื่อลดความหนาลงร้อยละ 15, 20, 25, 50 และ 75 นอกจากนี้ในการทดลองได้ทุบขึ้นรูปชิ้นงาน Cu-35WC และ Cu-50WC พบว่า ชิ้นงานแตกหักการทุบขึ้นรูปปร้อนและเย็น จึงไม่มีผลการทดลองอื่นของสองส่วนผสมนี้

4.4 ผลการทดสอบสมบัติของชิ้นงาน Cu-20WC หลังผ่านการทุบขึ้นรูป

ลักษณะชิ้นงานที่ผ่านการทุบขึ้นรูปป้องและทุบขึ้นรูปเย็นเพื่อลดความหนาประมาณร้อยละ 25, 50 และ 75 มีลักษณะดังรูปที่ 4.13 ชิ้นงานที่ผ่านการทุบขึ้นรูปป้องเพื่อลดความหนาร้อยละ 25, 50 และ 75 มีความหนาหลังการทุบที่ 4.8, 3.25 และ 2.1 มิลลิเมตร ตามลำดับ ชิ้นงานที่ผ่านการทุบขึ้นรูปเย็น เพื่อลดความหนาร้อยละ 25, 50 และ 75 มีความหนาหลังการทุบที่ 5.1, 3.5 และ 2.2 มิลลิเมตร ตามลำดับ โดยชิ้นงานที่ผ่านการทุบขึ้นรูปป้องมีความหนาน้อยกว่าชิ้นงานที่ผ่านการทุบขึ้นรูปเย็น ทั้งนี้เนื่องจากในการตั้งความหนาของชิ้นงานสำหรับทุบขึ้นรูปนั้นจะทำการตั้งค่าด้วยการทุบขึ้นรูปเย็น การทุบขึ้นรูปป้องนั้นต้องให้ความร้อนแก่ชิ้นงานก่อนทำให้ชิ้นงานมีความอ่อนตัว และเมื่อได้รับแรงกระแทกทำให้ชิ้นงานเกิดการยุบมากกว่า จึงทำให้ความหนาของชิ้นงานที่ผ่านการทุบขึ้นรูปป้องจึงมีความหนาต่ำกว่าชิ้นงานที่ผ่านการทุบขึ้นรูปเย็น

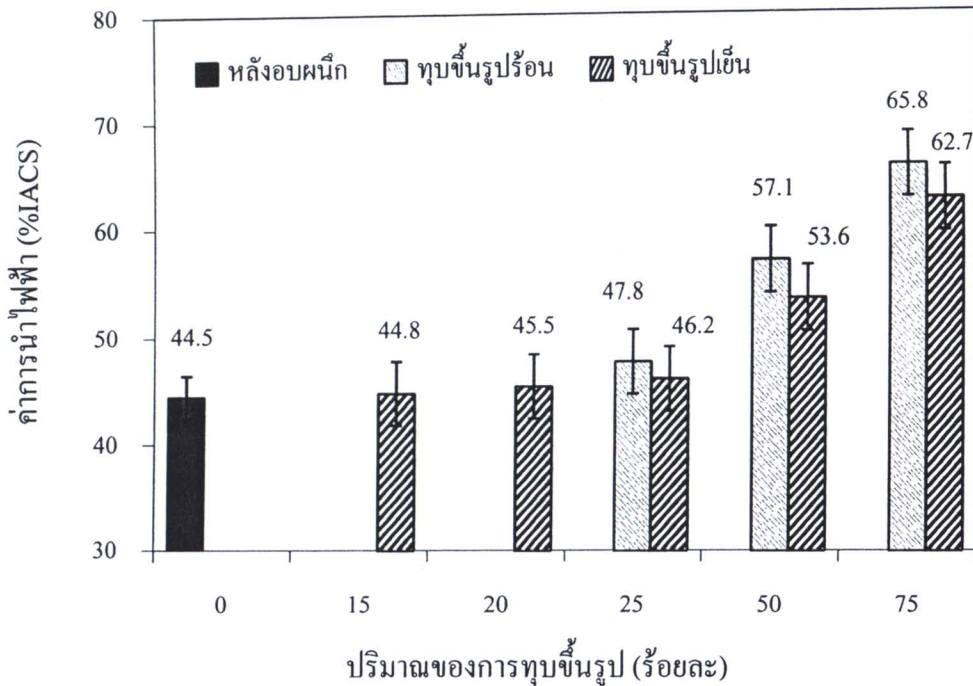


รูปที่ 4.13 ลักษณะของชิ้นงานหลังผ่านการทุบขึ้นรูปป้องและทุบขึ้นรูปเย็น

4.4.1 ผลการทดสอบการนำไฟฟ้าของชิ้นงาน Cu-20WC หลังผ่านการทุบขึ้นรูป

ผลการทดสอบการนำไฟฟ้าของชิ้นงาน Cu-20WC หลังอบพนิก ผ่านการทุบขึ้นรูปป้องและทุบขึ้นรูปเย็น แสดงดังรูปที่ 4.14 ชิ้นงาน Cu-20WC หลังผ่านการทุบขึ้นรูปป้องร้อยละ 25, 50 และ 75 มีค่าการนำไฟฟ้าเฉลี่ยที่ 47.8, 57.1 และ 65.8 %IACS ตามลำดับ ขณะที่ชิ้นงาน Cu-20WC หลังผ่านการทุบขึ้นรูปเย็น แสดงค่าเฉลี่ยที่ 4.8, 3.25 และ 2.1 %IACS ตามลำดับ แสดงให้เห็นว่าชิ้นงานที่ผ่านการทุบขึ้นรูปเย็นมีค่าการนำไฟฟ้าต่ำกว่าชิ้นงานที่ผ่านการทุบขึ้นรูปป้อง

รูปเย็นร้อยละ 15, 20, 25, 50 และ 75 มีค่าการนำไฟฟ้าเฉลี่ยที่ 44.8, 45.5, 46.2, 53.6 และ 62.7 %IACS ตามลำดับ



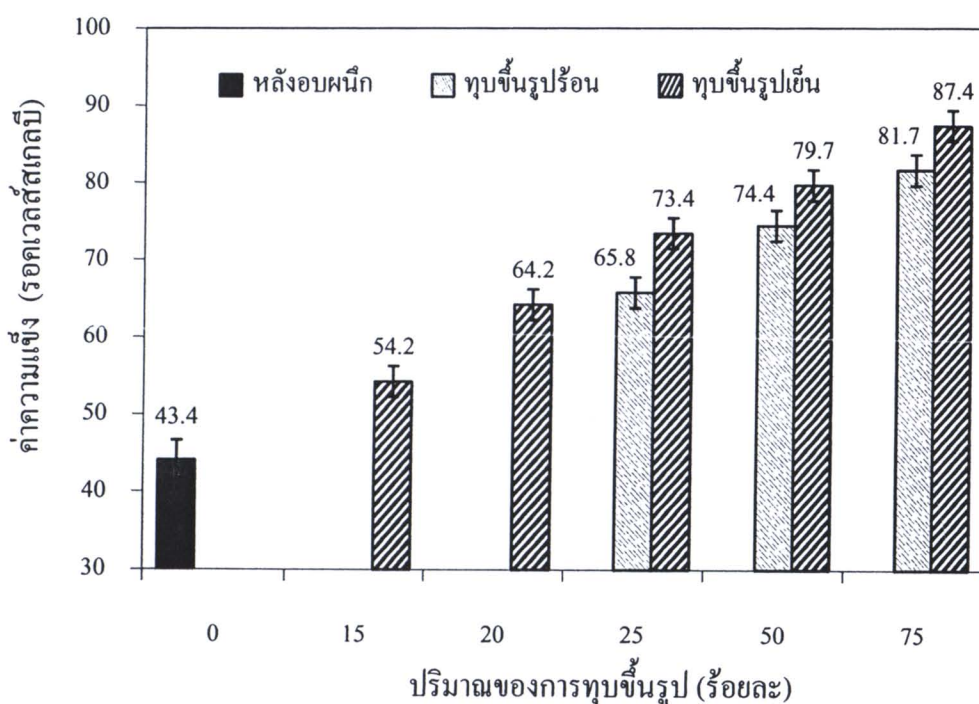
รูปที่ 4.14 ค่าการนำไฟฟ้าของชิ้นงาน Cu-20WC หลังผ่านการทุบขึ้นรูปปร็อกและทุบขึ้นรูปเย็น

จากการทดลองเห็นได้ว่าชิ้นงานที่ผ่านการทุบขึ้นรูปมีค่าการนำไฟฟ้าสูงกว่าชิ้นงานหลังอบผนึกที่ไม่ผ่านการทุบขึ้นรูป และเมื่อปริมาณการทุบขึ้นรูปเพิ่มขึ้นค่าการนำไฟฟ้ามีค่าเพิ่มขึ้น ทั้งนี้เนื่องจากชิ้นงานที่ไม่ผ่านการทุบขึ้นรูปนั้นยังคงมีรูพรุนตกค้างอยู่ภายในหลังผ่านการอบผนึก โดยรูพรุนเหล่านี้จะทำหน้าที่ขัดขวางการส่งผ่านอิเล็กตรอนทำให้วัสดุนำไฟฟ้าได้ไม่ดี ดังนั้นเมื่อชิ้นงานผ่านการทุบขึ้นรูปจึงทำให้รูพรุนที่คงค้างอยู่ลดลง ทำให้การส่งผ่านของอิเล็กตรอนจากอะตอมหนึ่งไปยังอะตอมหนึ่งเกิดขึ้นได้ง่ายกว่าจึงทำให้ชิ้นงานที่ผ่านการทุบขึ้นรูปมีค่าการนำไฟฟ้าสูงกว่าชิ้นงานที่ไม่ผ่านการทุบขึ้นรูป และด้วยเหตุนี้จึงทำให้ชิ้นงานที่ผ่านการทุบขึ้นรูปสูงขึ้น มีค่าการนำไฟฟ้าด้วยเพิ่มขึ้น

นอกจากนี้ยังพบว่าชิ้นงานที่ผ่านการทุบขึ้นรูปปร็อกมีค่าการนำไฟฟ้าสูงกว่าชิ้นงานที่การทุบขึ้นรูปเย็น ที่ปริมาณการทุบท่ากัน ทั้งนี้เนื่องจากขณะที่ทำการทุบขึ้นรูปปร็อกนั้นเกิด Dynamic Recrystallization มีการโตของเกรนอย่างต่อเนื่อง [22] ทำให้การเคลื่อนที่ของอิเล็กตรอนระหว่างอะตอมเกิดขึ้นได้ง่ายกว่าชิ้นงานที่ผ่านการทุบขึ้นรูปเย็น จึงทำให้ชิ้นงานที่ผ่านการทุบขึ้นรูปปร็อกนำไฟฟ้าได้ดีกว่าชิ้นงานที่ผ่านการทุบขึ้นรูปเย็น

4.4.2 ผลการทดสอบความแข็งของชิ้นงาน Cu-20WC หลังผ่านการทุบขึ้นรูป

ผลการทดสอบความแข็งของชิ้นงาน Cu-20WC หลังอบพนัก ผ่านการทุบขึ้นรูปร้อนและทุบขึ้นรูปเย็น แสดงดังรูปที่ 4.15 ชิ้นงาน Cu-20WC หลังผ่านการทุบขึ้นรูปร้อนร้อยละ 25, 50 และ 75 มีค่าความแข็งเฉลี่ย 65.8, 74.4 และ 81.7 รอกเวลส์สเกลบี ตามลำดับ ขณะที่ชิ้นงาน Cu-20WC หลังผ่านการทุบขึ้นรูปเย็นร้อยละ 15, 20, 25, 50 และ 75 มีค่าความแข็งเฉลี่ย 54.2, 64.2, 73.4, 79.7 และ 87.4 รอกเวลส์สเกลบี ตามลำดับ



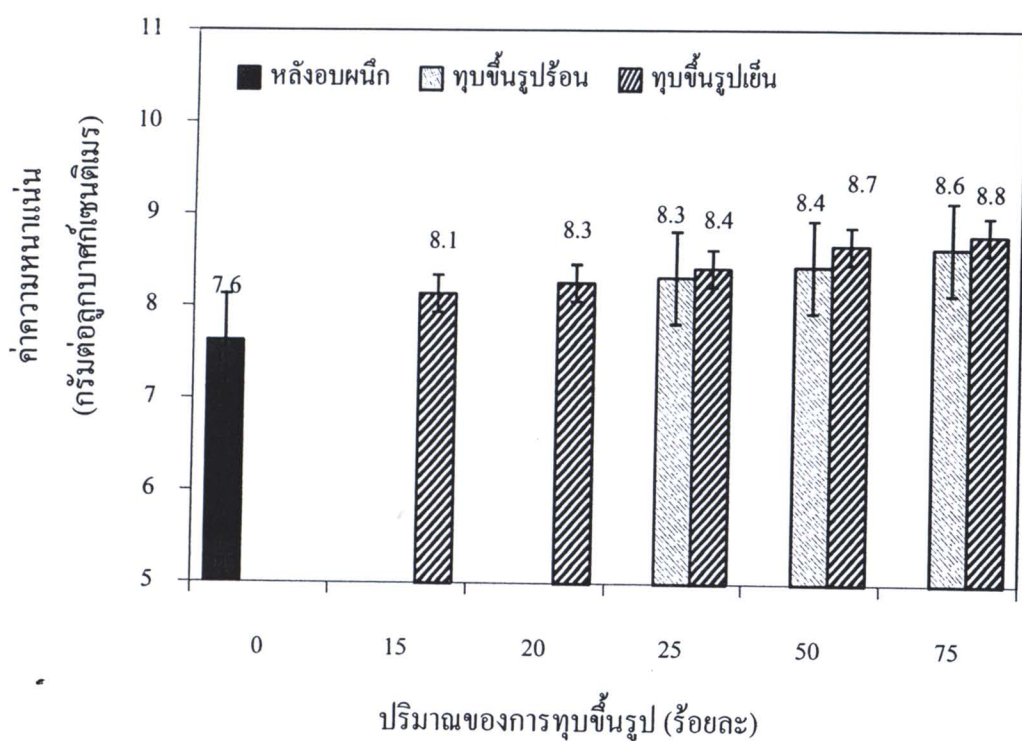
รูปที่ 4.15 ค่าความแข็งของชิ้นงาน Cu-20WC หลังผ่านการทุบขึ้นรูปร้อนและทุบขึ้นรูปเย็น

เห็นได้ว่าชิ้นงานที่ผ่านการทุบขึ้นรูปเย็นนั้นมีค่าความแข็งสูงกว่าชิ้นงานที่ผ่านการทุบขึ้นรูปร้อนที่ปริมาณของการทุบขึ้นรูปเท่ากัน ทั้งนี้เนื่องจากการทุบขึ้นรูปเย็นเกิดคิดส์โลเคชันจำนวนมาก ส่งผลให้คิดส์โลเคชันออกแรงผลักกันมากขึ้น การเคลื่อนที่ของคิดส์โลเคชันจะถูกขัดขวางด้วยคิดส์โลเคชันตัวอื่นจึงทำให้แข็งขึ้น [27] ทำให้ชิ้นงานที่ผ่านการทุบขึ้นรูปเย็นมีค่าความแข็งสูงกว่าชิ้นงานที่ผ่านการทุบขึ้นรูปร้อน จากการวิจัยของ สุทธิพงษ์ โสภา และคณะ [37] ซึ่งทำการศึกษาความสัมพันธ์ระหว่างอุณหภูมิการทุบขึ้นรูปและสมบัติทางกลของอะลูминิเนียมพลาสเมอร์ Al6063 พบว่า อุณหภูมิที่ใช้ในการทุบขึ้นรูปนั้นส่งผลต่อสมบัติทางกลด้านความแข็ง โดยชิ้นงาน Al6063 ที่ผ่านการทุบขึ้นรูปที่อุณหภูมิ 350 องศาเซลเซียสจะมีขนาดของเกรนอยู่ที่ 6.75 ไมโครเมตร และความแข็งอยู่ที่ 44.87 บรินเดลส์ เมื่อ

อุณหภูมิของการทุบขึ้นรูปสูงขึ้นเป็น 500 องศาเซลเซียส ขนาดของเกรนมีค่า 6.94 ไมโครเมตร และความแข็งมีค่า 40.97 บริเนลล์ ด้วยเหตุนี้ทำให้ทราบว่า อุณหภูมิของการทุบขึ้นรูปและขนาดของเกรน มีผลต่อสมบัติทางกลด้านความแข็งของวัสดุ โดยเมื่ออุณหภูมิสูงขึ้น ขนาดของเกรนจะมีขนาดใหญ่ขึ้น ทำให้สมบัติทางกลด้านความแข็งลดลง

4.4.3 ผลการทดสอบความหนาแน่นของชิ้นงาน Cu-20WC หลังผ่านการทุบขึ้นรูป

ผลการทดสอบความหนาแน่นของชิ้นงาน Cu-20WC หลังอบพนัก ผ่านการทุบขึ้นรูปร้อนและทุบขึ้นรูปเย็น แสดงดังรูปที่ 4.16 ชิ้นงาน Cu-20WC หลังผ่านการทุบขึ้นรูปร้อนร้อยละ 25, 50 และ 75 มีค่าความหนาแน่น 8.3, 8.4 และ 8.6 กรัมต่อลูกบาศก์เซนติเมตร ตามลำดับ ชิ้นงาน Cu-20WC หลังผ่านการทุบขึ้นรูปเย็นร้อยละ 15, 20, 25, 50 และ 75 มีค่าความหนาแน่น 8.1, 8.3, 8.4, 8.7 และ 8.8 กรัมต่อลูกบาศก์เซนติเมตร ตามลำดับ



รูปที่ 4.16 ค่าความหนาแน่นของชิ้นงาน Cu-20WC หลังผ่านการทุบขึ้นรูปร้อนและทุบขึ้นรูปเย็น

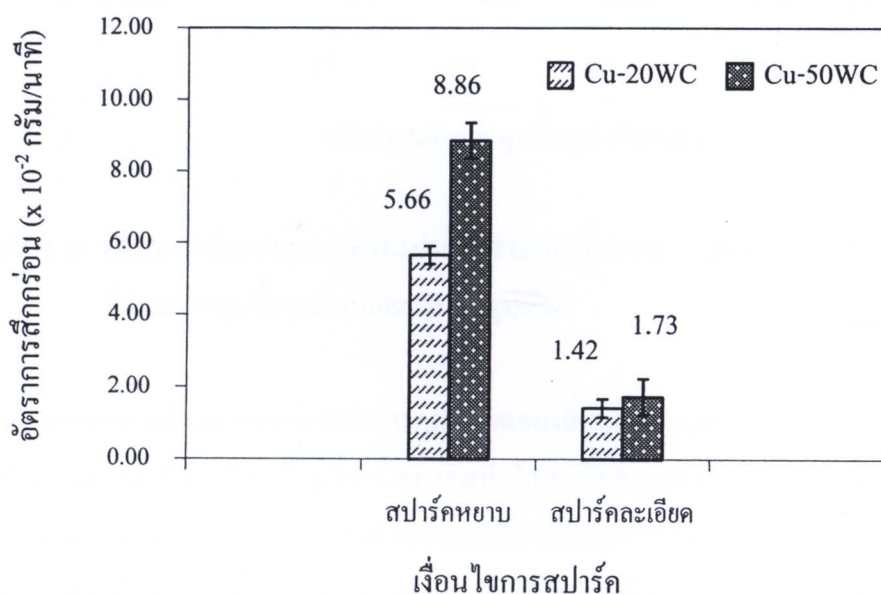
จากผลการทดลองทำให้ทราบว่าการทุบขึ้นรูปมีผลต่อค่าความหนาแน่นของชิ้นงาน ทั้งนี้เนื่องจากขณะที่ทำการทุบขึ้นรูปนั้นทำให้ชิ้นงานเกิดการเปลี่ยนแปลงรูปร่างอย่างรวดเร็ว เกิดการอัดตัวมาก

ขึ้นทำให้ปริมาณรูพรุนของชิ้นงานลดลงเมื่อเทียบกับชิ้นงานที่ไม่ผ่านการทุบขึ้นรูป จึงทำให้ค่าความหนาแน่นที่ได้มีค่าเพิ่มขึ้นซึ่งปริมาณรูพรุนที่ยังคงค้างอยู่นี้จะส่งผลต่อค่าการนำไฟฟ้าและความแข็งของวัสดุ ซึ่งสอดคล้องกับงานวิจัยของ Maneshian และ Simchi [38] พบว่า Cu-80W ที่ถูกเตรียมด้วยวิธีผสมผงโลหะเชิงกล (Mechanical Alloying : MA) เมื่อความหนาแน่นของชิ้นงานเพิ่มขึ้น ส่งผลให้ความแข็งและการนำไฟฟ้าของชิ้นงานเพิ่มขึ้น การเพิ่มความหนาแน่นของชิ้นงานทำได้โดยการเพิ่มอุณหภูมิและเวลาในการอบพนึก

เมื่อเปรียบเทียบค่าการนำไฟฟ้าและความแข็งของชิ้นงาน Cu-20WC หลังผ่านการทุบขึ้นรูป กับมาตรฐาน ASTM B663-94 (2006) ซึ่งเป็นมาตรฐานสำหรับหน้าสัมผัสไฟฟ้าส่วนผสม Ag-WC ขึ้นรูปด้วยกระบวนการ Infiltration ตามด้วยกระบวนการอัดและอบพนึก พบว่า ค่าการนำไฟฟ้าของ Cu-20WC หลังผ่านการทุบขึ้นรูปร้อนและทุบขึ้นรูปเย็นร้อยละ 25 อยู่ในช่วงที่ยอมรับได้ของส่วนผสม Ag-50WC คือ 45-50 %IACS และค่าการนำไฟฟ้าของการทุบขึ้นรูปร้อนและทุบขึ้นรูปเย็นร้อยละ 50 และ 75 อยู่ในช่วงที่ยอมรับได้ที่ส่วนผสม Ag-35WC คือ 55-60 %IACS ส่วนค่าความแข็งของการทุบขึ้นรูปเย็นร้อยละ 75 อยู่ในช่วงที่รับได้ที่ส่วนผสม Ag-50WC คือ 86-96 รอกเวลส์สเกลบี ขณะที่ค่าความแข็งของการทุบขึ้นรูปร้อนและทุบขึ้นรูปเย็น ที่ร้อยละ 25 และ 50 มีค่าความแข็งสูงกว่าหน้าสัมผัสไฟฟ้าที่ส่วนผสม Ag-35WC

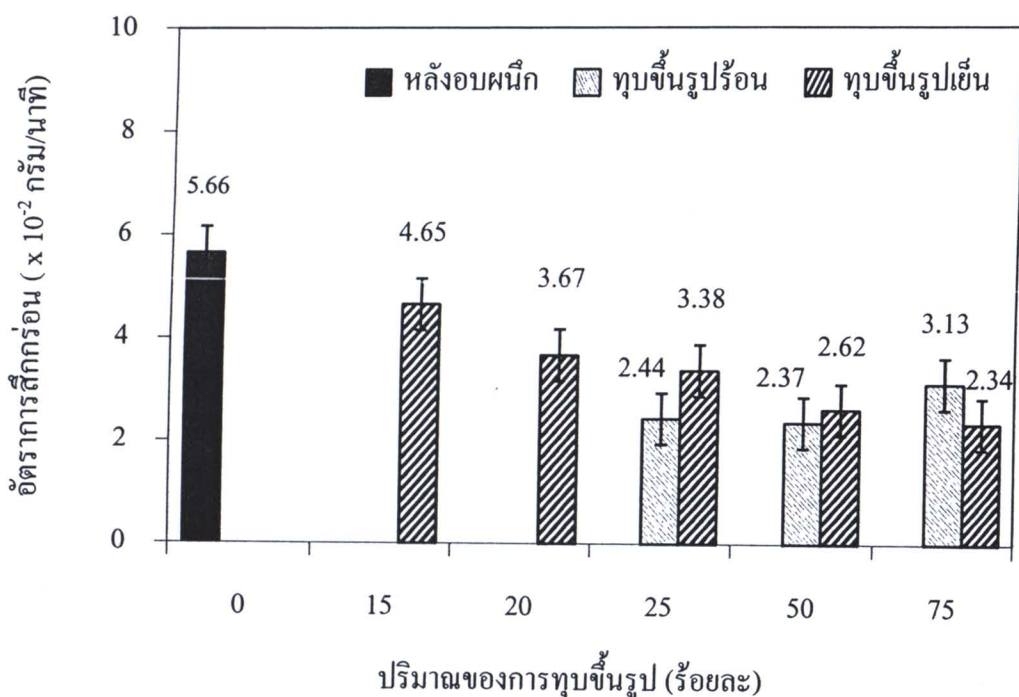
4.5 ผลการทดสอบการสึกกร่อนจากการสปาร์ค

ในการทดลองทำการสึกกร่อนของชิ้นงานจากการสปาร์คนั้น ชิ้นงานเริ่มต้นผ่านกระบวนการผลิตที่แตกต่างกันทำให้ความหนาที่เริ่มต้นแตกต่างกัน กล่าวคือ หลังการทุบขึ้นรูปความหนาลดลงตามปริมาณการทุบขึ้นรูป แต่ขนาดเส้นผ่าศูนย์กลางของชิ้นงานทั้งหมดให้มีค่าคงที่เท่ากันคือ 5 มิลลิเมตร (ตัดด้วย Wire Cut) ดังนั้นการสึกหรอในที่นี้จึงหาจาก อัตราการสึกกร่อนของชิ้นงานที่หาได้จากน้ำหนักของชิ้นงานที่เป็นอิเล็กโทรดที่หายไปจากการสปาร์คหารด้วยเวลาที่ใช้ในการสปาร์คเพื่อให้ได้ความลึกของตัวรองรับเท่ากันเป็น 0.30 มิลลิเมตร ผลการทดสอบอัตราการสึกกร่อนของชิ้นงานจากการสปาร์คหยานและสปาร์คคละเอียดของชิ้นงาน Cu-20WC และ Cu-50WC ที่ผ่านการอบพนิก และไม่ทุบขึ้นรูป แสดงดังรูปที่ 4.17 พบว่าชิ้นงานส่วนผสม Cu-50WC ที่ผ่านการสปาร์คหยาน มีอัตราการสึกหรอ 8.86×10^{-2} กรัมต่อนาที และอัตราการสึกหรอหลังสปาร์คคละเอียดคือ 1.73×10^{-2} กรัมต่อนาที ชิ้นงานส่วนผสม Cu-20WC ที่ผ่านการสปาร์คหยานมีอัตราการสึกกร่อน 5.66×10^{-2} กรัมต่อนาที และอัตราการสึกกร่อนหลังสปาร์คคละเอียดคือ 1.42×10^{-2} กรัมต่อนาที จากผลการทดสอบแสดงให้เห็นว่าชิ้นงาน Cu-50WC มีอัตราการสึกกร่อนสูงกว่าชิ้นงาน Cu-20WC ทั้งนี้เนื่องจาก WC ถูกกัดกร่อนได้มากกว่าทองแดง และ Cu-50WC นำไฟฟ้าได้น้อยกว่า Cu-20WC ทำให้การส่งผ่านความร้อนขณะที่เกิดการสปาร์คไปยังเศษโลหะ และสารไครอิเล็กตริกที่อยู่รอบๆ ได้ช้า จึงทำให้อัตราการสึกกร่อนของ Cu-50WC สูงกว่า Cu-20WC



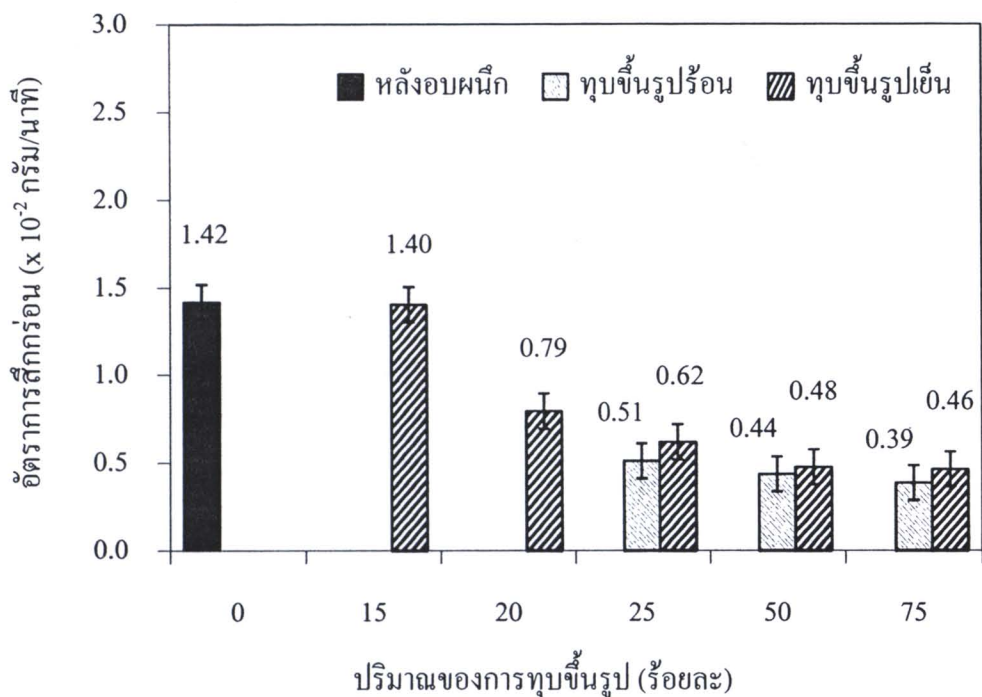
รูปที่ 4.17 อัตราการสึกกร่อนของชิ้นงาน Cu-20WC และ Cu-50WC หลังอบพนิกผ่านการสปาร์ค

ผลการทดสอบอัตราการสึกกร่อนจากการสปาร์คหยานของชิ้นงาน Cu-20WC หลังอบพนีก ทุบขึ้นรูป ร้อนลดความหนาเรือยละ 25, 50, 75 ทุบขึ้นรูปเย็นลดความหนาเรือยละ 15, 20, 25, 50, 75 ตามลำดับ แสดงดังรูปที่ 4.18 พบว่า การทุบขึ้นรูปปร้อนและเย็นช่วยลดอัตราการสึกกร่อนจากการสปาร์คได้ดีกว่า ชิ้นงานหลังอบพนีก โดยร้อยละของการทุบขึ้นรูปสูงที่สุด อัตราการสึกกร่อนมีค่าลดลง ยกเว้นชิ้นงานที่ ผ่านการทุบขึ้นรูปปร้อนลดความหนาเรือยละ 75 ให้อัตราการสึกกร่อนสูงกว่าชิ้นงานที่ผ่านการทุบขึ้นรูปปร้อนลดความหนาเรือยละ 25 และ 50 เนื่องจากชิ้นงานมีขนาดบาง ขณะทำการทดสอบเกิดข้อผิดพลาดจากการสปาร์ค เนื่องจากจีดจำกัดของเวลาและเงินทุน ในที่นี้จึงขอเสนอแนะให้ทำการทดลองใหม่เพื่อลดการผิดพลาดในการทดลอง



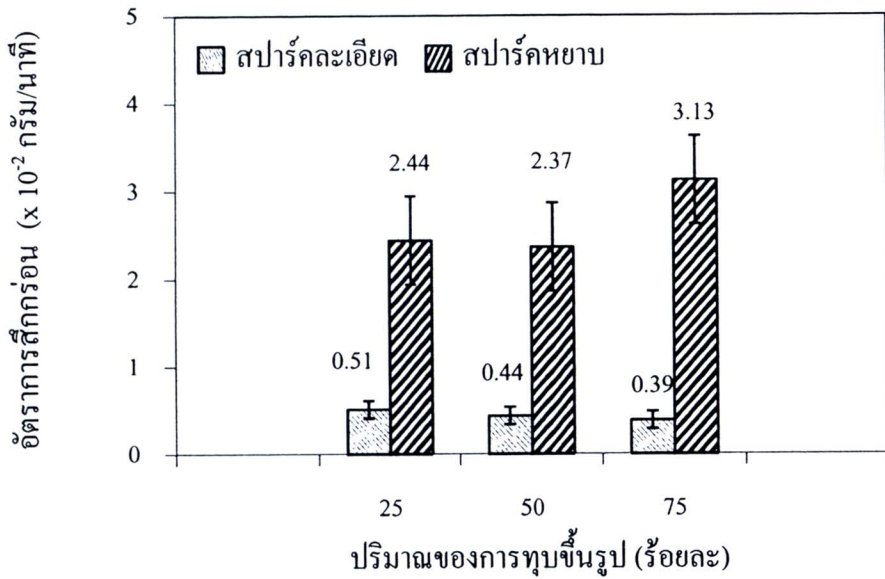
รูปที่ 4.18 อัตราการสึกกร่อนจากการสปาร์คหยานของชิ้นงาน Cu-20WC หลังอบพนีก ที่ผ่านการทุบขึ้นรูปปร้อนและทุบขึ้นรูปเย็น

ผลการทดสอบอัตราการสึกกร่อนจากการสปาร์คจะอ่อนโยนของชิ้นงาน Cu-20WC หลังอบพนีก ผ่านการทุบขึ้นรูปปร้อน และทุบขึ้นรูปเย็น ด้วยเงื่อนไขการสปาร์คจะอ่อนโยน แสดงดังรูปที่ 4.19 พบว่า ผลการทดลองการสึกกร่อนจากการสปาร์คจะอ่อนโยนโดยต้องกับผลการทดลองการสึกกร่อนจากการสปาร์คหยาน กล่าวคือ การทุบขึ้นรูปช่วยลดอัตราการสึกกร่อนของชิ้นงานได้ดีกว่าชิ้นงานหลังการอบพนีกอย่างเดียว

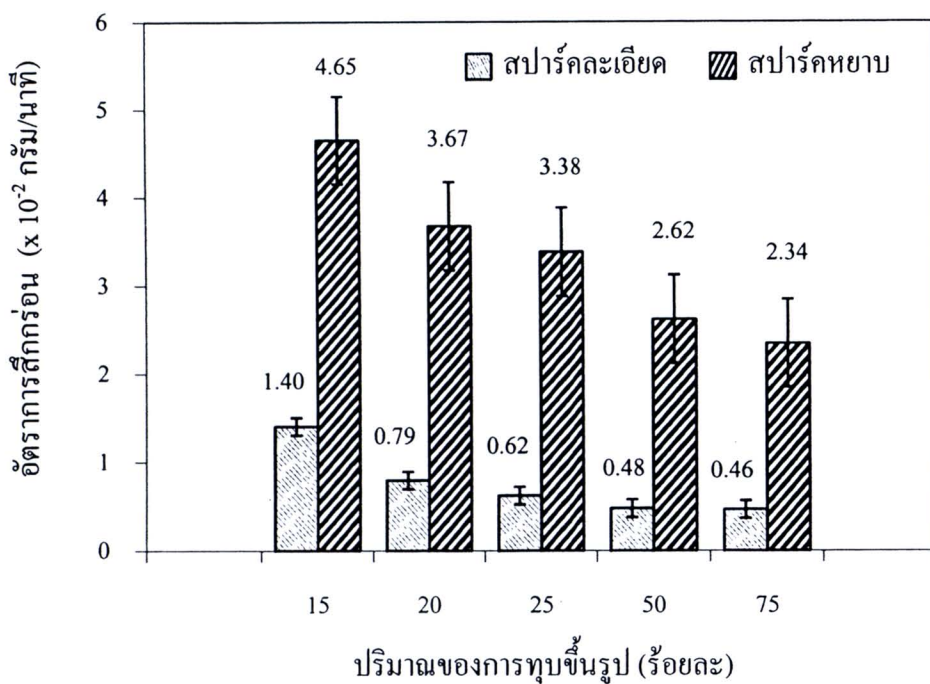


รูปที่ 4.19 อัตราการสึกกร่อนจากการสปาร์คคละเอียดของชิ้นงาน Cu-20WC หลังอบพนึกที่ผ่านการทุบขึ้นรูปปร้อนและทุบขึ้นรูปเย็น

เมื่อพิจารณาผลการทดสอบการสึกกร่อนจากการสปาร์คหยานและสปาร์คคละเอียดของชิ้นงาน Cu-20WC หลังผ่านการทุบขึ้นรูปปร้อนและทุบขึ้นรูปเย็น ดังรูปที่ 4.20 และ 4.21 ตามลำดับ พบว่า ชิ้นงานที่ผ่านการสปาร์คคละเอียดมีอัตราการสึกกร่อนของชิ้นงานต่ำกว่าชิ้นงานที่ผ่านการสปาร์คหยาน ทั้งนี้เนื่องจากว่า ปริมาณกระแทกไฟฟ้าและความถี่ที่ใช้ในการสปาร์คต่างกัน การสปาร์คคละเอียดใช้กระแทกไฟฟ้าที่ 1 แอมเปอร์ ความถี่สูง และความต่างศักย์จะมีผลต่อการสปาร์คประมาณ 290 โวลต์ ส่วนการสปาร์คหยานจะใช้กระแทกไฟฟ้าอยู่ที่ 15 แอมเปอร์ ความถี่ต่ำ และความต่างศักย์จะมีผลต่อการสปาร์คประมาณ 220 โวลต์ ทำให้ชิ้นงานที่ผ่านการสปาร์คคละเอียดมีอัตราการสึกกร่อนต่ำกว่า และผิวที่ได้หยานน้อยกว่าการสปาร์คหยาน



รูปที่ 4.20 อัตราการสึกกร่อนจากการสปาร์ค衡阳และสปาร์คละเอียดของชิ้นงาน Cu-20WC หลังผ่านการทุบขึ้นรูปปั๊วอน

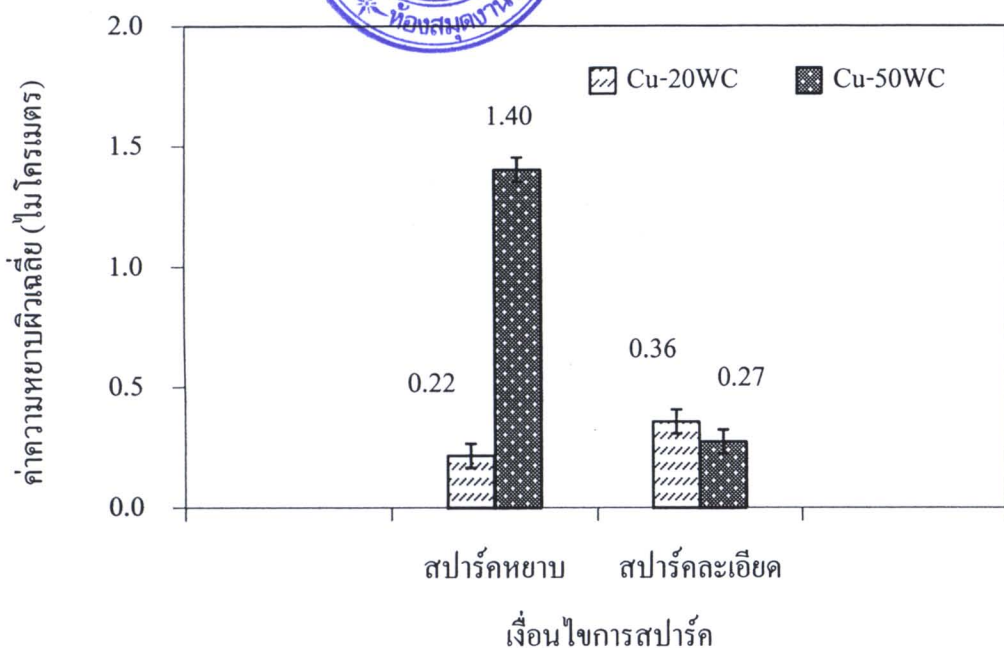


รูปที่ 4.21 อัตราการสึกกร่อนจากการสปาร์ค衡阳และสปาร์คละเอียดของชิ้นงาน Cu-20WC หลังผ่านการทุบขึ้นรูปเย็น

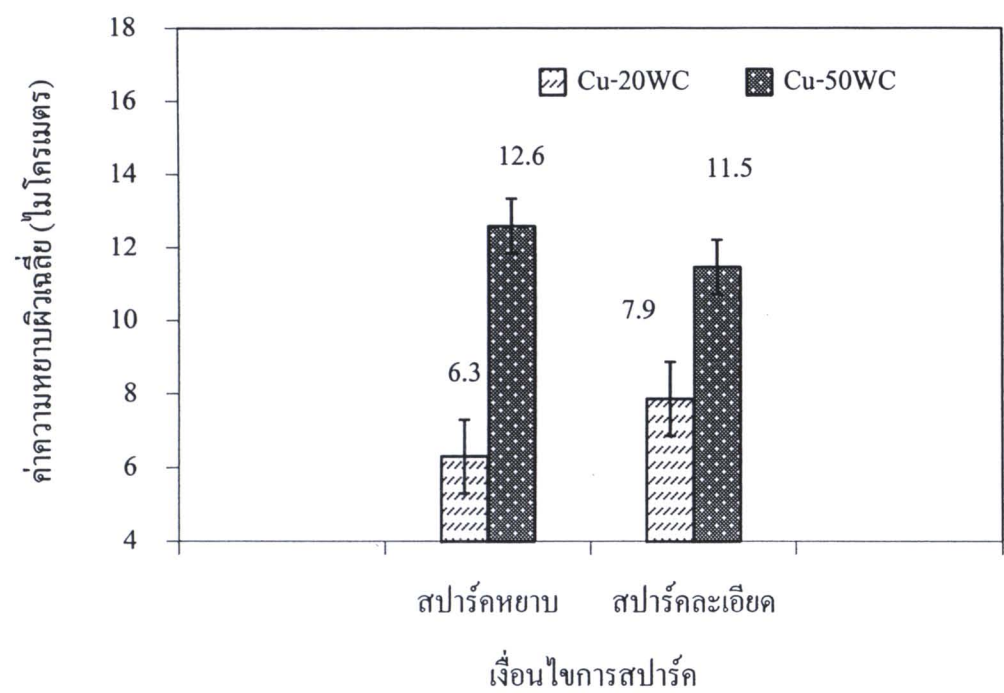
เมื่อพิจารณาผลการทดสอบการสีกกร่อนจากการสปาร์ค กับ ประเภทการทุบขึ้นรูปชิ้นงาน และค่าการนำไฟฟ้า พบว่า ชิ้นงานทุบที่ขึ้นรูปปั้น หลังผ่านการสปาร์คหมายและสปาร์คคละเอียด มีค่าอัตราการสีกกร่อนต่ำกว่าชิ้นงานที่ผ่านการทุบที่ขึ้นรูปเย็นที่ร้อยละของการทุบท่ากัน และขั้ตตราการสีกกร่อนของชิ้นงานทุบที่ขึ้นรูปที่ร้อยละของการทุบที่ขึ้น หลังผ่านการสปาร์คหมายและสปาร์คคละเอียดมีแนวโน้มลดลง ทั้งนี้เนื่องจากสมบัติด้านการนำไฟฟ้าของวัสดุจะมีผลต่อสมบัติด้านการนำความร้อนของวัสดุ โดยวัสดุที่นำไฟฟ้าได้ดี จะนำความร้อนได้ดีด้วย ซึ่งวัสดุที่นำความร้อนได้ดีจะสามารถลดความแตกต่างระหว่างอุณหภูมิกายในตัวมันเอง ได้เร็วกว่าวัสดุที่นำความร้อนได้ต่ำ หมายความว่า เมื่ออุณหภูมิสูงขึ้นอัตราการส่งผ่านพลังงานความร้อนระหว่างตัวกลางจะมีค่าลดลง ทำให้ขณะที่เกิดการสปาร์คชิ้นงานที่มีค่าการนำไฟฟ้าสูงมีการส่งผ่านความร้อนไปยังเศษโลหะที่เกิดการหลอมละลายได้ดีกว่าชิ้นงานที่มีค่าการนำไฟฟ้าต่ำกว่า จึงทำให้ชิ้นงานที่ผ่านการทุบที่ขึ้นรูปปั้นและชิ้นงานที่มีค่าการนำไฟฟ้าสูงมีอัตราการสีกกร่อนที่ต่ำกว่าชิ้นงานที่ผ่านการทุบที่ขึ้นรูปเย็นและชิ้นงานมีค่าการนำไฟฟ้าที่ต่ำ

4.6 ผลการทดสอบความหมายผิวของชิ้นงาน Cu-WC หลังผ่านการสปาร์ค

ผลการทดสอบความหมายผิวของชิ้นงาน Cu-20WC และ Cu-50WC ที่ผ่านการอบพนัก (ไม่ทุบที่ขึ้นรูป) ก่อนการสปาร์คหมายและสปาร์คคละเอียด แสดงดังรูปที่ 4.22 พบว่า ชิ้นงาน Cu-20WC มีค่าความหมายผิวเฉลี่ย 0.22 และ 0.36 ไมโครเมตร ตามลำดับ ชิ้นงาน Cu-50WC มีค่าความหมายผิวเฉลี่ย 1.40 และ 0.27 ไมโครเมตร หลังการสปาร์คหมายและสปาร์คคละเอียดชิ้นงาน Cu-20WC และ Cu-50WC มีค่าความหมายผิว ดังรูปที่ 4.23 โดยชิ้นงาน Cu-20WC มีค่าความหมายผิวเฉลี่ย 7.9 และ 6.3 ไมโครเมตร ตามลำดับ ชิ้นงาน Cu-50WC มีค่าความหมายผิวเฉลี่ย 12.6 และ 11.5 ไมโครเมตร



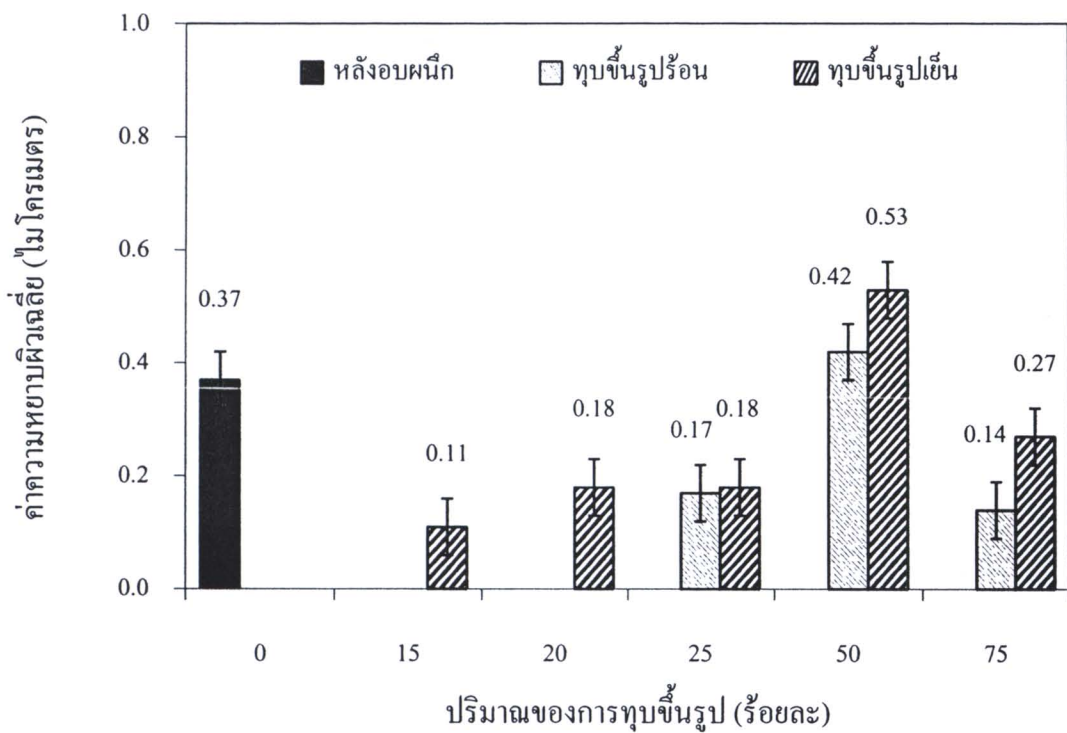
รูปที่ 4.22 ค่าความหยาบผิวเฉลี่ยก่อนสปาร์คหยานและสปาร์คละเอียดของชิ้นงาน Cu-20WC และ Cu-50WC หลังอบพนึก



รูปที่ 4.23 ค่าความหยาบผิวเฉลี่ยหลังสปาร์คหยานและสปาร์คละเอียดของชิ้นงาน Cu-20WC และ Cu-50WC หลังอบพนึก

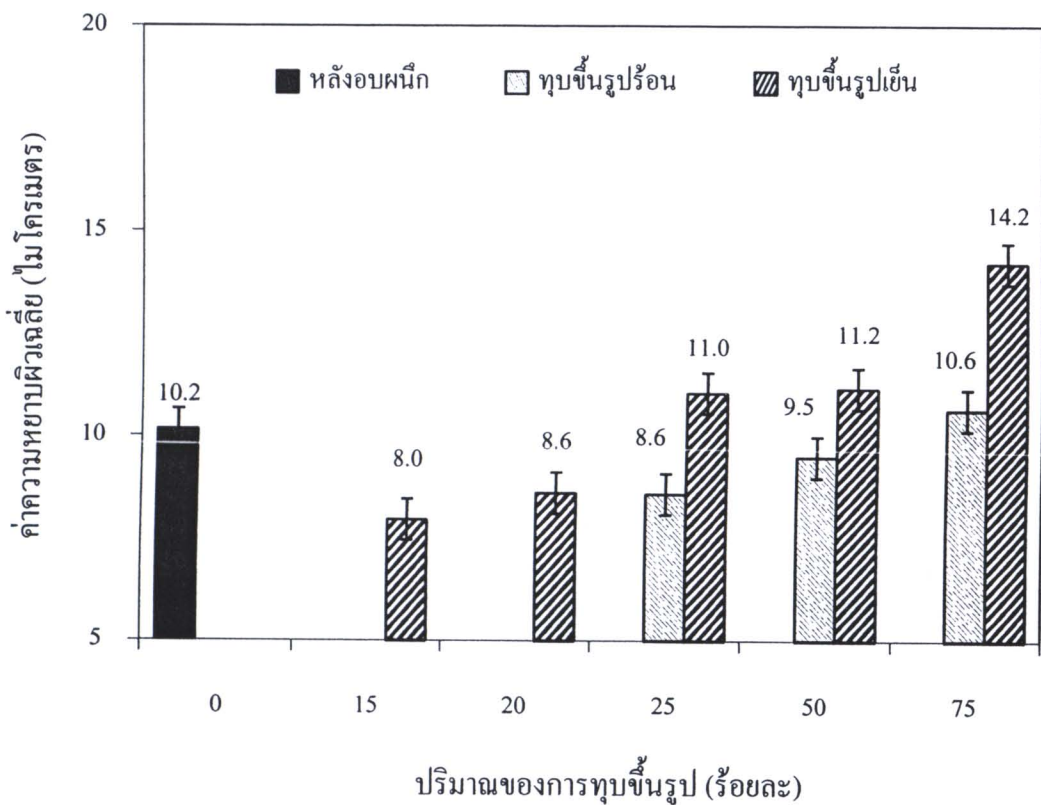
4.6.1 ผลการทดสอบความหยาบผิวของชิ้นงาน Cu-WC หลังผ่านการสปาร์คหยาน

ผลการทดสอบความหยาบผิวก่อนสปาร์คหยานของชิ้นงาน Cu-20WC หลังอบพนัก หลังผ่านการทุบขึ้นรูปปั้นเพื่อลดความหนาเรือยละ 25, 50 และ 75 และหลังผ่านการทุบขึ้นรูปเย็น เพื่อลดความหนาเรือยละ 15, 20, 25, 50 และ 75 แสดงดังรูปที่ 4.24 เห็นได้ว่าความหยาบผิวของทุกชิ้นงานมีค่าแตกต่างกันไม่มากเนื่องจากทุกชิ้นงานผ่านการขัดผิวด้วยกระดาษทรายเบอร์ 1200



รูปที่ 4.24 ค่าความหยาบผิวเฉลี่ยก่อนการสปาร์คหยานของชิ้นงาน Cu-20WC

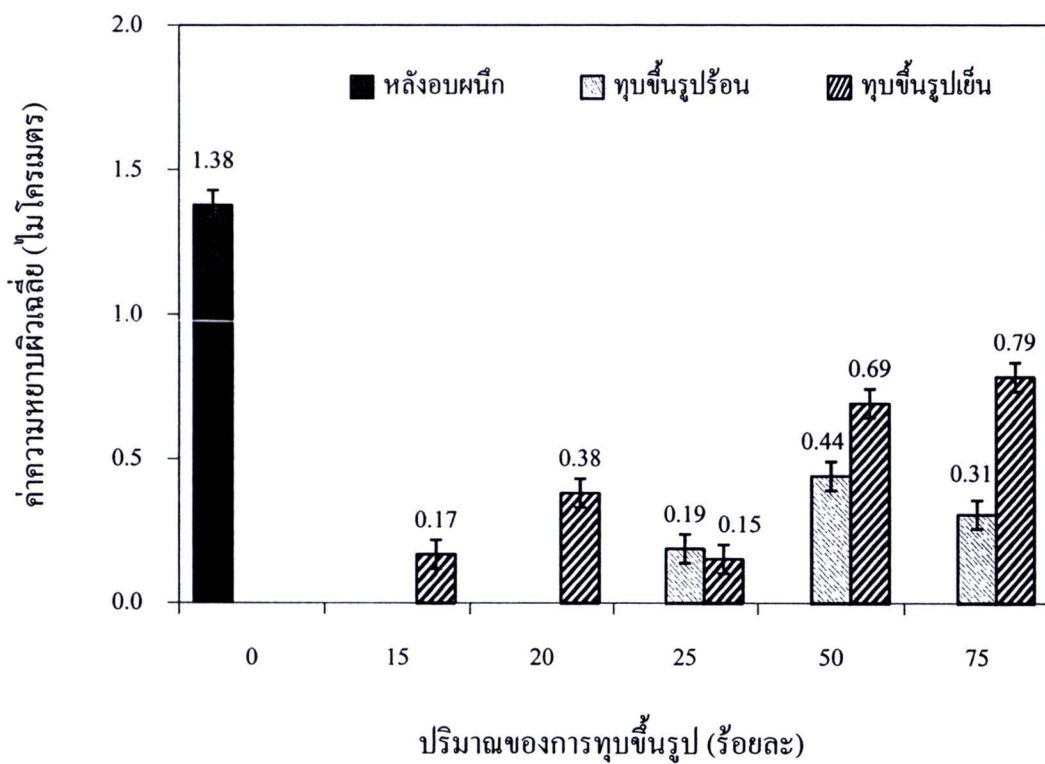
ค่าความหยาบผิวหลังสเปาร์คหยานของชิ้นงาน Cu-20WC ผ่านการทุบขึ้นรูปปรีอันและทุบขึ้นรูปเย็น แสดงค้างรูปที่ 4.25 พบว่า ชิ้นงาน Cu-20WC ผ่านการทุบขึ้นรูปปรีอันเพื่อลดความหนาเรือยละ 25, 50 และ 75 มีค่าความหยาบผิวเฉลี่ย 8.6, 9.5 และ 10.6 ไมโครเมตร ตามลำดับ ส่วนชิ้นงาน Cu-20WC ผ่านการทุบขึ้นรูปเย็นเพื่อลดความหนาเรือยละ 15, 20, 25, 50 และ 75 มีค่าความหยาบผิวเฉลี่ย 8.0, 8.6, 11.0, 11.2 และ 14.2 ไมโครเมตร ตามลำดับ



รูปที่ 4.25 ค่าความหยาบผิวเฉลี่ยหลังการสเปาร์คหยานของชิ้นงาน Cu-20WC

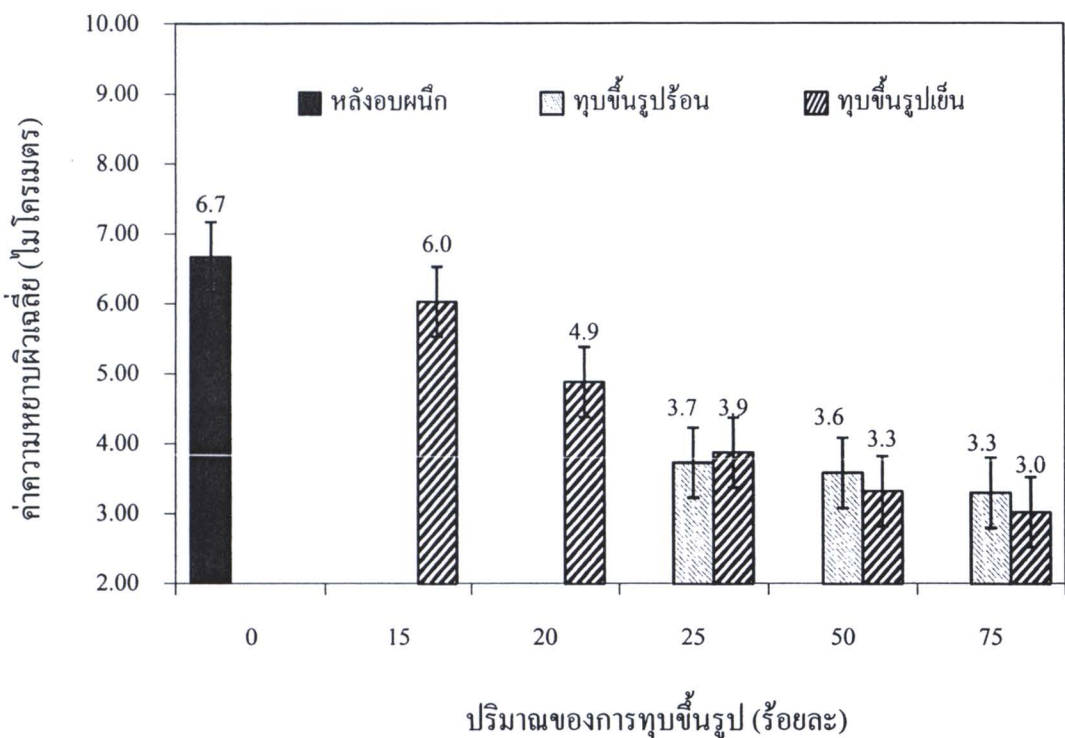
4.6.2 ผลการทดสอบความหยาบผิวของชิ้นงาน Cu-WC หลังผ่านการสปาร์คละเอียด

ผลการทดสอบความหยาบผิวก่อนสปาร์คละเอียดของชิ้นงาน Cu-20WC หลังผ่านการทุบขึ้นรูปร้อน เพื่อทดสอบความหนาเรือขยะ 25, 50 และ 75 และหลังผ่านการทุบขึ้นรูปเย็น เพื่อทดสอบความหนาเรือขยะ 15, 20, 25, 50 และ 75 แสดงดังรูปที่ 4.26 เห็นได้ว่าความหยาบผิวของทุกชิ้นงานมีค่าแตกต่างกันไม่นัก โดยมีค่าอยู่ในช่วง 0.1-1.4 ไมโครเมตร ทั้งนี้เนื่องจากทุกชิ้นงานผ่านการขัดผิวด้วยกระดาษทรายเบอร์ 1200



รูปที่ 4.26 ค่าความหยาบผิวเฉลี่ยก่อนการสปาร์คละเอียดของชิ้นงาน Cu-20WC

ค่าความหมายผิวหลังสปาร์คคละเอียดของชิ้นงาน Cu-20WC ที่ผ่านการทุบขึ้นรูปร่องและทุบขึ้นรูปเย็น แสดงดังรูปที่ 4.27 พบว่า ชิ้นงาน Cu-20WC ผ่านการทุบขึ้นรูปร่องเพื่อลดความหนาเรือยละ 25, 50 และ 75 มีค่าความหมายผิวเฉลี่ย 3.7, 3.6 และ 3.3 ไมโครเมตร ตามลำดับ ส่วนชิ้นงาน Cu-20WC ผ่านการทุบขึ้นรูปเย็นเพื่อลดความหนาเรือยละ 15, 20, 25, 50 และ 75 มีค่าความหมายผิวเฉลี่ย 6.0, 4.9, 3.9, 3.3 และ 3.0 ไมโครเมตร ตามลำดับ



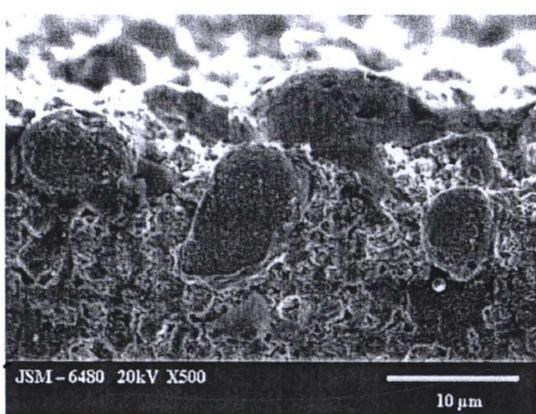
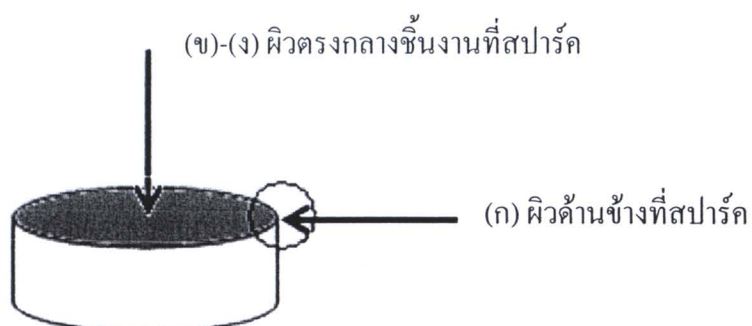
รูปที่ 4.27 ค่าความหมายผิวเฉลี่ยหลังการสปาร์คคละเอียดของชิ้นงาน Cu-20WC

จากรูป 4.23, 4.25 และ 4.27 เห็นได้ว่า ค่าความหมายผิวของชิ้นงานหลังผ่านการสปาร์คหมายมีค่าสูงกว่าชิ้นงานหลังผ่านการสปาร์คคละเอียด ทั้งนี้เนื่องจากการสปาร์คหมาย (C190) กระแสไฟฟ้าถูกปล่อยออกมายในลักษณะของพัลส์ที่มีกระแสสูง มีความถี่ต่ำ ระยะเวลานานขณะที่การสปาร์คคละเอียด (C300) กระแสไฟฟ้าถูกปล่อยออกมายในลักษณะของพัลส์ที่มีกระแสต่ำ ความถี่สูง ระยะเวลาสั้นๆ ทำให้ความหมายผิวของชิ้นงานหลังสปาร์คขึ้นอยู่กับขนาดของกระแสไฟฟ้าและความถี่ที่ใช้ในการปล่อยกระแสไฟฟ้าโดยชิ้นงานที่ได้รับปริมาณของกระแสไฟฟ้าสูง จะมีค่าความหมายผิวที่สูงซึ่งจากผลการทดลองนี้ สอดคล้องกับงานวิจัยของ Lee และคณะ[39] พบว่า ค่าความหมายผิวของ AISI 1045 โดยมี Cu-75W เป็นอิเล็กโทรด มีค่าความหมายผิวเพิ่มขึ้นจาก 1 ไมโครเมตร เป็นประมาณ 3.5 ไมโครเมตร ที่กระแสไฟฟ้า 1 และ 12 แอมเปอร์ ตามลำดับ นอกจากนี้ยังมีงานวิจัยของ

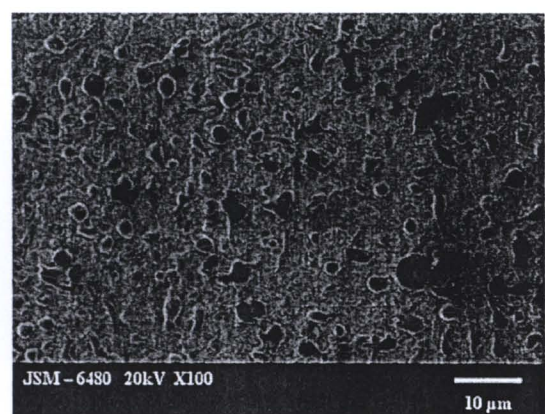
สูรชัยจู ใจนันต์ [40] พบว่า ความเรียบผิวของชิ้นงานหลังสปาร์คไม่เข้มกับความเรียบผิวของอิเล็กโทรดแต่เข้มอยู่กับเงื่อนไขที่ใช้ในการสปาร์คและ การสปาร์คด้วยเงื่อนไข C190 ได้ความเรียบผิว Ra ของอิเล็กโทรดหลังการสปาร์คสูงกว่าความเรียบผิว ก่อนสปาร์ค

4.7 โครงสร้างจุลภาคของชิ้นงาน Cu-20WC หลังผ่านการสปาร์ค

ผลการศึกษาโครงสร้างจุลภาคหลังผ่านการสปาร์คทabyan ของชิ้นงาน Cu-20WC หลังอบพนัก แสดงดังรูปที่ 4.28 โดยในการศึกษาได้ถ่ายรูปด้วยกล้องจุลทรรศน์อิเล็กตรอนแบบส่องภาค 2 บริเวณคือ (ก) บริเวณด้านข้างที่สปาร์ค และ (ข)-(ก) บริเวณผิวตรงกลางของชิ้นงานด้านที่ผ่านการสปาร์ค พบว่า บริเวณผิวด้านข้างที่ผ่านการสปาร์คทabyan มีความขรุขระของผิว

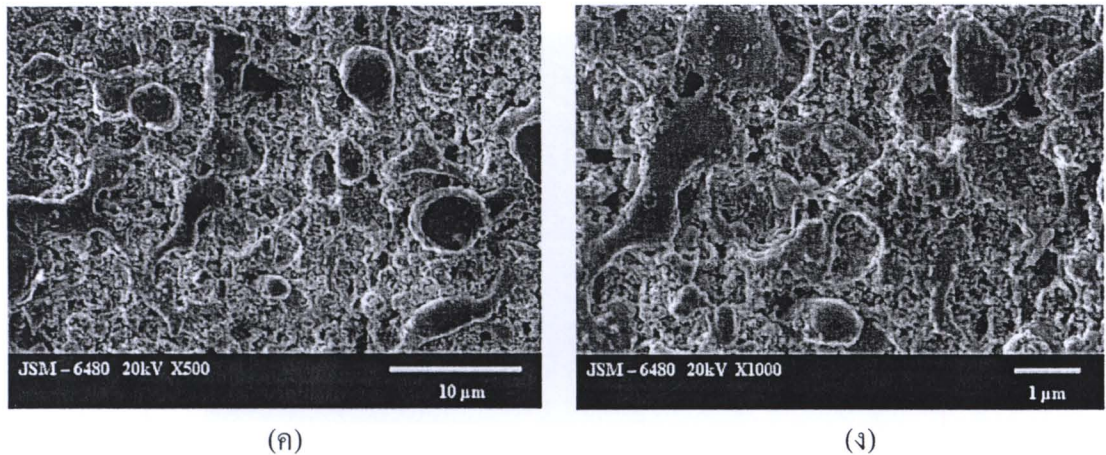


(ก)



(ข)





รูปที่ 4.28 โครงสร้างจุลภาคหลังผ่านการสปาร์คหยานของชิ้นงาน Cu-20WC หลังอบพนัก

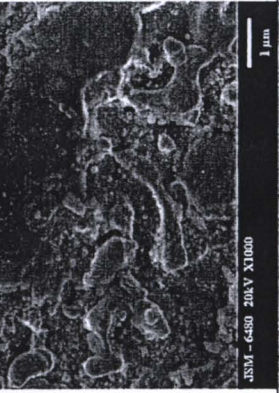
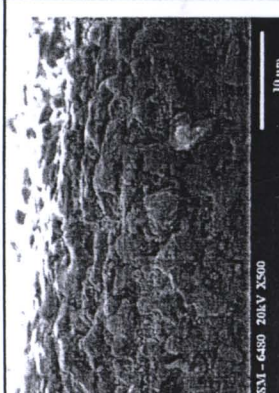
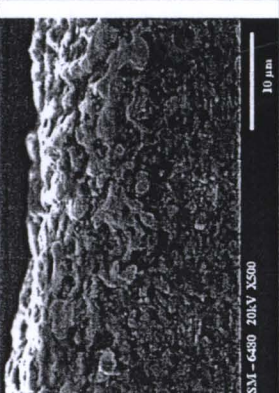
- (ก) บริเวณผิวด้านข้าง กำลังขยาย 500 เท่า
- (ข) บริเวณผิวตรงกลางชิ้นงาน กำลังขยาย 100 เท่า
- (ค) บริเวณผิวตรงกลางชิ้นงาน กำลังขยาย 500 เท่า
- (ง) บริเวณผิวตรงกลางชิ้นงาน กำลังขยาย 1,000 เท่า

เมื่อเปรียบเทียบค่าความหมายผิวกับโครงสร้างจุลภาคของชิ้นงานหลังผ่านการสปาร์คหยาน และ สปาร์คละเอียด ดังตารางที่ 4.4 และ 4.5 พบร่วมกันว่าเมื่อร้อยละการทุบขึ้นรูปสูงขึ้น ค่าความหมายผิวของ ชิ้นงานที่ผ่านการสปาร์คหยานมีค่าสูงขึ้น และผิวนี้มีความซุ่มกระมากขึ้น ส่วนชิ้นงานที่ผ่านการ สปาร์คละเอียดมีค่าความหมายผิวลดลง ผิวนี้มีความซุ่มกระลดลง ซึ่งสอดคล้องกับภาพถ่ายโครง สร้างจุลภาค

ตารางที่ 4.4 โครงสร้างจุลทรรศน์งาน Cu-20WC ทุบขึ้นรูปเป็นหลังผ่านการอบประทุม

ปริมาณการ ทุบขึ้นรูป	ผิวค่ามนุษย์	ผิวตรวจสอบทางชีวเคมี	
		100X	1000X
25%			
50%			
75%			

ตารางที่ 4.5 โครงสร้างจุลทรรศน์ Cu-20WC ทุบชิ้นรูปเย็นที่ผ่านการตPragmaร์คดเยื้อก

ปริมาณการหุบชิ้นรูป	ผิวความชำรุด		ผิวตรวจสอบ	
	500X	1000X	500X	1000X
25%				
50%				
75%	